



بررسی رفتار ستون های فولادی پوشیده شده با بتن و مقاوم سازی آن با الیاف پلیمری کربن تحت اثر همزمان بارگذاری محوری و بارگذاری جانبی رفت و برگشتی

سید امید حسینی^۱، سعید حسینی‌ای^۱، محمد قاسمی^{*۲}

- ۱- دانشکده فنی و مهندسی شهید نیکخواه، گروه عمران، دانشگاه سیستان و بلوچستان، زاهدان، ایران.
۲- گروه آموزشی مهندسی عمران، دانشکده فنی و مهندسی، دانشگاه ولایت، ایرانشهر، ایران.

تاریخچه داوری:

دریافت: ۱۳۹۸-۰۳-۱۲

بازنگری: ۱۳۹۸-۰۴-۲۶

پذیرش: ۱۳۹۸-۰۵-۱۸

ارائه آنلاین: ۱۳۹۸-۰۶-۰۳

خلاصه: کاربرد مقاطع مرکب در سالیان اخیر به علت محسن فروان آن ها در کشورهای پیشرفته رو به افزایش است.

علیرغم استفاده گسترده از مقاطع مرکب در دهه های اخیر، کماکان از لحاظ طراحی به این قاب ها همانند قاب های بتن آرمه و فولادی نگریسته می شود، از سهم همکاری توان بتن و فولاد چشم پوشی می گردد و بررسی رفتار شکل پذیری آن ها با کاستی هایی همراه است. استفاده موثر و کارآمد از قاب های مرکب نیازمند نگرشی مختلف است به قاب های بتنی و فولادی برای ورود به پرسه طراحی این نوع از قاب ها می باشد. از آنجا که انجام آزمایش برای بررسی هر مسئله امری

زمان بر و پرهزینه است، استفاده از شبیه سازی ابزاری مناسب می باشد. هدف از این تحقیق بررسی پارامترهای موثر بر ظرفیت باربری ستون های فولادی پوشیده شده با بتن تحت اثر همزمان بارگذاری محوری و جانبی چرخه ای شامل

شکل مقاطع فولادی، مقاومت بتن و مقاوم سازی با الیاف پلیمری کربن است. استفاده از ستون فولادی پوشیده شده با بتن در مقایسه با ستون فولادی تنها و یا ستون بتن مسلح باعث افزایش ظرفیت چشم گیری در ظرفیت نهایی می شود،

به عبارت دیگر ستون های مرکب از ظرفیت بار بسیار بالایی برخوردار می باشند. بدین منظور جهت بررسی رفتار ستون های فولادی پوشیده شده با بتن تحت اثر همزمان بارگذاری محوری و جانبی چرخه ای پس از صحبت سنجی مدل سازی در نرم افزار اجزای محدود آباکوس به بررسی رفتار این ستون ها در حالات مختلف سطح مقاطع فولاد، مقاومت فشاری

۲۸ روزه بتن متفاوت و مقاوم سازی با الیاف پلیمری کربن بر ظرفیت نهایی آن پرداخته شده است. نتایج تحقیق نشان می دهد پارامترهایی همچون شکل و بعد سطح مقاطع ستون فولادی، مقاومت فشاری ۲۸ روزه بتن و مقاوم سازی با

الیاف پلیمری کربن تاثیر به سزاوی در افزایش یا کاهش ظرفیت نهایی این ستون ها دارد. در نهایت به بررسی الگوی ترک خوردگی در بتن پرداخته شده است و با توجه به الگوی گسترش ترک، مقاوم سازی با الیاف پلیمری کربن بر روی سطح

بتن برای کاهش ترک خوردگی انجام شده است.

کلمات کلیدی:
ستون فولادی پوشیده شده با بتن
بارگذاری محوری
بارگذاری جانبی چرخه ای
مقاوم سازی

گرفته است [۱]. استفاده از ستون های مرکب به اوایل سال ۱۹۰۰

میلادی بر می گردد که با ساخت پل ها و ساختمان ها با اعضای ترکیبی شروع شد که امروزه شکل های مختلفی از این اعضا دیده می شود. گسترش روز افزون آن به خاطر بهبود رفتار ستون ها در اثر ترکیب خوب بتن و فولاد است که عملکرد بهتر و صرفه اقتصادی بیشتر را در پی دارد [۲]. انواع ستون های کامپوزیت در دو نوع کلی زیر خلاصه می شوند [۲]:

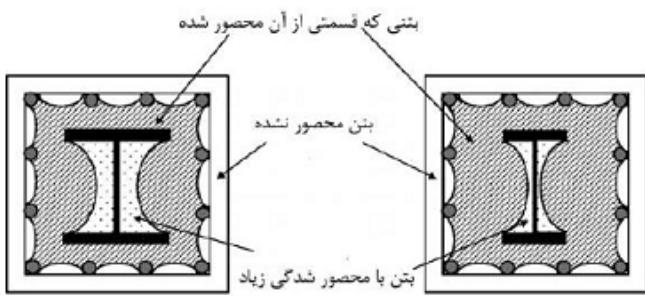
۱- مقدمه

وجود مقاطع فولادی محاط شده در ستون بتن مسلح، به عبارت دیگر ترکیب مقاطع فولادی و بتنی، باعث شده است این گونه ستون ها از ظرفیت نهایی بالایی نسبت به ستون های فولادی و بتنی تنها برخوردار باشند و با حذف بسیاری از ضعف های ستون های فولادی و بتن مسلح تنها، اخیراً مورد توجه بسیاری از محققین قرار

* نویسنده عهدهدار مکاتبات: m.ghasemi@velayat.ac.ir

حقوق مؤلفین به نویسندها و حقوق ناشر به انتشارات دانشگاه امیرکبیر داده شده است. این مقاله تحت لیسانس آفرینندگی مردمی (Creative Commons License) در دسترس شما قرار گرفته است. برای جزئیات این لیسانس، از آدرس <https://www.creativecommons.org/licenses/by-nc/4.0/legalcode> دیدن فرمائید.





شکل ۱- نواحی محصور شدگی در ستون مرکب فولادی پوشیده شده با بتن

Fig. 1. Areas of confinement in concrete-covered steel columns

مسلح بیشتر به دوک شبیه بوده و در اعضای مرکب همانند اعضاي بتن مسلح با افزایش نیروی محوری شکل پذیری کاهش می یابد. در نتیجه رفتار خمی یک ستون محصور شده در بتن و یک ستون بتن آرمه تقريبا مشابه است، ولی رفتار شکست برشی ستون محصور شده بسیار بهتر از یک ستون بتن مسلح است [۴]. با توجه به موارد ذکر شده، همچنین مقاومت و شکل پذیری بالا و ظرفیت جذب انرژی بالای ستون های فولادی پوشیده شده با بتن و زمان بر بودن و هزینه بر بودن انجام مطالعات آزمایشگاهی لازم است در این تحقیق، به بررسی عددی و کاربرد ستون های فولادی پوشیده شده با بتن با نرم افزار اجزای محدود آباکوس² پرداخته شود. همچنین استفاده از این مقاطع به علت مزایای سازهای مطلوب آنها، نزد مهندسان طراح مورد توجه قرار گرفته است که این امر مستلزم تکمیل ضوابط آیین نامه ای و انجام تحقیقات بیشتر در این زمینه و با تمرکز بر امر تحلیل و طراحی این مقاطع می باشد.

در سال ۲۰۰۵ چن^۳ و همکاران تحقیقات آزمایشگاهی گستردۀ ای برای بررسی رفتار سازه ای تیز ستون های مرکب فولادی محاط در بتن با مقطع فولادی T شکل انجام دادند. نمونه ها تحت بارگذاری تناوبی جانبی و بار فشاری محوری قرار گرفتند. این آزمایش پارامترهایی نظیر توزیع آرماتورهای طولی، فاصله آرماتورهای عرضی، وجود روابط متقابل و سطح بار فشاری محوری را در بر می گیرد. نتایج آزمایش ها نشان می دهد که رفتار تناوبی و مد شکست تیز ستون ها تا حد زیادی تحت تاثیر جهت ممان خمی که به علت نامتقارن بودن مقطع بوجود می آید قرار می گیرند [۴]. در سال ۲۰۱۱ الوبادی^۴ و همکاران در یک مطالعه پارامتری و تحلیلی به بررسی اثر پارامترهای

الف- مقاطع فولادی پوشیده شده با بتن^۱ که به آنها بتن مسلح با پروفیل فولادی (Steel Reinforced Concrete) یا به اختصار SRC گفته می شوند.

ب- مقاطع فولادی جدار نازک پرشده از بتن (Concrete Filled Tube CFT) که به اختصار CFT نامیده می شوند.

در ستون های مرکب فولادی پوشیده شده با بتن، محصور شدگی بتن به وسیله مقطع فولادی و میلگردهای تقویتی فراهم می شود. محصور شدگی بتن به عوامل زیادی از جمله شکل مقطع فولادی، قطر، شبکه بندی، فاصله و تعداد آرماتورهای طولی و همچنین قطر و فاصله آرماتورهای عرضی بستگی دارد، علاوه بر این عوامل تنفس تسليم مقطع فولادی و آرماتورهای تقویتی همانند مقاومت فشاری بتن بر روی محصور شدگی موثر است [۳]. ستون مرکب بر اساس نواحی محصور شدگی به سه قسمت اصلی تقسیم می شوند که متشکل از بتن با محصور شدگی زیاد، بتن با محصور شدگی جزئی و بتن محصور نشده است که در شکل (۱) نواحی محصور شدگی در ستون مرکب فولادی پوشیده شده با بتن نشان داده شده است.

رفتار خمی یک عضو محصور شده، تا زمانی که مقاومت ماکریم حاصل شود، مانند رفتار یک عضو بتن مسلح است، ولی دارای شکل پذیری بالاتری می باشد، زیرا چنانچه نسبت های پهنا-ضخامت ورق های فولادی به اندازه کافی کوچک باشند، فولاد می تواند پس از خردشدن بتن نیز مقاومت کند. اما برای مقاومت برشی یک عضو محصور شده، رفتار شکل پذیر گونه ای مشاهده می شود. حتی اگر شکست آن هم به صورت برشی باشد. شکل پذیری یک عضو محصور شده مربوط به اثر متقابل بین میلگردهای بتن، فولاد و بتن بین بال های فولاد است که می تواند کرنش های بزرگی را بر اثر عمل محصور کنندگی بال ها تحمل کند. از طرف دیگر بتنی که فولاد را در قسمت فشاری می پوشاند به صورت ترد شکسته می شود و این به خاطر مجموع آثار کمانش خودش و نیروی جانبی ایجاد شده به وسیله کمانش فولاد می باشد. بنابراین پوشش بتن فشاری کمی کنده می شود و این باعث کاهش مقاومت می شود [۴]. منحنی های هیسترزیس (پسماند) برای اعضای فولادی محصور شده تحت نیروی محوری ثابت و ممان خمی متناوب به همراه نیروی برشی نشان می دهد شکل حلقه ها با نیروی محوری صفر نسبت به اعضای بتن

² Abaqus

³ Chen

⁴ Ellobody

1 Steel Reinforced Concrete Column (SRC)

نمونه ها با یکدیگر مقایسه شدند. نتایج این تحقیق نشان دهنده ظرفیت بالای مقاطع صلیبی شکل نسبت به مقاطع دیگر است [۹]. چن و وو^۳ در سال ۲۰۱۷ رفتار ستون های فولادی محاط در بتن را تحت اثر بارگذاری محوری فشاری بررسی کردند. در این پژوهش تحلیلی رفتار ستون با در نظر گرفتن ۵ نوع مصالح برای آرماتورهای طولی و عرضی، مقطع فولادی، بتن محصور نشده^۴، بتن خوب محصور شده^۵ و بتن کم محصور شده^۶ بررسی شدو رفتار ۲۰ نمونه ستون در مقطع دایره ای و مستطیلی با یکدیگر مقایسه شدند. نتایج تحقیق نشان دهنده تطابق خوب ظرفیت نهایی بدست آمده از روابط تحلیلی با نتایج حاصل از مطالعات آزمایشگاهی دارد [۱۰]. لکی^۷ و همکاران در سال ۲۰۱۷ به به بررسی رفتار ستون های کاپوزیت پرداختند. در این مطالعه اثر پوشش بتنی بر روی مقطع فولادی در مقایسه با مقطع فولادی تنها نیز بررسی شد. در نهایت ظرفیت نهایی ستون، نمودارهای بار-جابجایی، بار- کرنش و ترک خوردگی در نمونه ها بررسی شده است [۱۱].

۲- صورت مسئله و شرح مدل سازی

در این پژوهش پارامترهای متغیر شامل مقاومت فشاری ۲۸ روزه بتن، شکل مقطع فولادی و نحوه مقاوم سازی با الیاف پلیمری کربن است. جهت تایید مدل سازی در نرم افزار اجزای محدود آباکوس [۱۲] و [۱۳] از مطالعه انجام شده توسط ژو^۸ و همکاران در سال ۲۰۱۶ استفاده شده است. نمونه های انتخاب شده از مطالعه این محققین مستطیلی شکل و با ابعاد سطح مقطع بتنی برابر 200×200 میلی متر است و طول خالص ستون برابر ۷۰۰ میلی متر است. همچنین مقطع بتن مسلح دارای ۱۲ عدد آرماتور طولی شماره ۱۰ و آرماتور بشی شماره ۶ به فواصل ۵۰ میلی متر از یکدیگر است. نحوه آرایش آرماتورهای طولی و عرضی، محل قرارگیری مقطع فولادی و محل اعمال بارگذاری در شکل (۲) مشخص شده است. این نمونه همانند مطالعه آزمایشگاهی N2-I-M50 و N2+-M50 نام گذاری شده است [۹]. عدد ۲ مشخص کننده مقدار بار محوری است که در حالات ۱، ۲ و ۳ به ترتیب برابر $A_g f_c \times 0.25$ و $0.38 \times A_g f_c$

مختلف بر روی رفتار و مقاومت ستون مرکب فولادی محاط در بتن تحت بار با خروج از مرکزیت پرداخته اند که این پارامترها متشکل از اعمال بار با خروج از مرکزیت های متفاوت، ابعاد مختلف ستون، مقاومت فشاری مختلف بتن و همچنین تنش های تسلیم مختلف فولاد بوده است و همچنین یک مدل ساختاری به همراه منحنی های تنش و کرنش برای بتن و فولاد با در نظر گرفتن اثر محصور شدگی ارائه کرده و مقایسه ای با نتایج آزمایشگاهی داشته اند. بطور کلی نشان داده شده است که تاثیر افزایش مقاومت ستون های مرکب ناشی از افزایش تنش تسلیم فولاد برای ستون های مرکبی که در معرض بار با خروج از مرکزیت کمتری هستند قابل توجه تر است [۵]. در سال ۱۳۹۱ لطف الله یقین و ضیائیون با بررسی رفتار ستونهای مرکب دولایه تحت اثر متقابل نیروی محوری و لنگر خمشی نشان دادند که در ستون های مرکب دولایه با افزایش لاغری میزان ظرفیت باربری کاهش می یابد و برای لاغری های بزرگتر که خرابی ستون بر اثر پدیده کمانش رخ می دهد این مقدار بیشتر است [۶]. در سال ۱۳۹۱ لطف الله و خلیل پورآذر با بررسی تاثیر تغییرات لنگر خمشی در میزان باربری محوری ستون های مرکب نشان دادند که با افزایش خروج از مرکزیت ظرفیت محوری شدیداً افت کرده و با افزایش لاغری ستون ها ظرفیت باربری تقلیل می یابد [۷]. در سال ۲۰۱۴ لی^۱ و همکاران به بررسی رفتار غیرخطی ستون های فولادی پوشیده شده با بتن با نرم افزار اجزای محدود آباکوس پرداختند. با مقایسه نتایج مدل های آزمایشگاهی و مدل های شبیه سازی شده توسط نرم افزار صحت مدل سازی این ستون ها مورد تایید قرار گرفته و با بررسی پارامتریک نشان داده شد نسبت های فولاد و نسبت های بارگذاری متفاوت اثر قابل ملاحظه ای بر روی شکل پذیری و ظرفیت نهایی ستونهای فولادی پوشیده شده با بتن دارد [۸]. ژو^۲ و همکاران در سال ۲۰۱۶ به بررسی مطالعه آزمایشگاهی در خصوص رفتار ستون های فولادی پوشیده شده با بتن پر مقاومت تحت اثر بارگذاری جانی چرخه ای و بارگذاری محوری پرداختند. در این مطالعه انواع مقاطع فولادی I شکل، H شکل و صلیبی شکل بررسی گردید. در این پژوهش برش گیرهای ستون و اشکال مختلف آرماتورهای عرضی نیز به عنوان متغیر در نظر گرفته شده است. در نهایت ظرفیت نهایی

³ Chen, S., Wu, P.

⁴ Unconfined concrete

⁵ Highly confined concrete

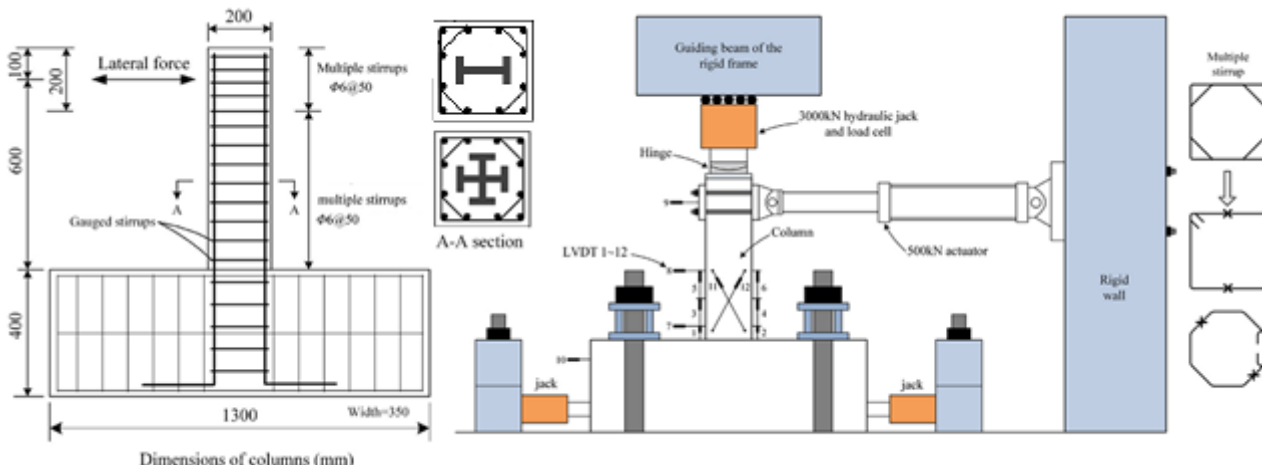
⁶ Partially confined concrete

⁷ Lacki, P.

⁸ Zhu

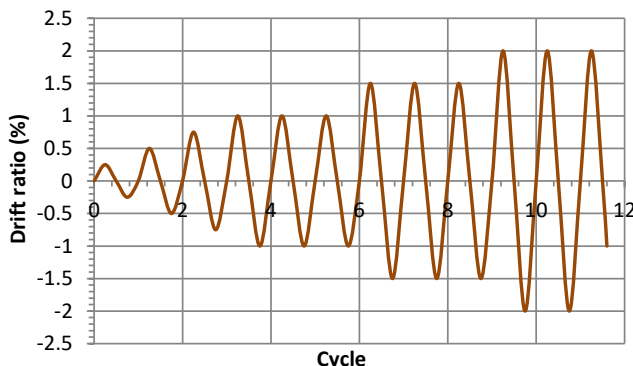
¹ Li

² Zhu, W.



شکل ۲- نحوه آرایش آرماتورهای طولی و عرضی، محل قرارگیری مقطع فولادی و محل اعمال بارگذاری [۹]

Fig. 2. Arrangement of longitudinal and lateral armature, Location of steel cross section and Place of loading



شکل ۳- جابجایی اعمال شده به انتهای آزاد ستون [۹]

Fig. 3. Displacement applied to free end of column

مقطع صلیبی شکل فولادی با دو مقطع I شکل عمود بر هم و I شکل فولادی به ابعاد مقطع I شکل برابر $100 \times 68 \times 4.5 \times 6 \times 7.6$ میلی متر است. مقطع فولادی دارای مقاومت تسلیم و مقاومت نهایی به ترتیب برابر ۳۶۸ و ۲۵۴ مگاپاسکال است. مشخصات آرماتورهای طولی و عرضی استفاده شده در این پژوهش در جدول (۱) آورده شده است.

۲-۲- نحوه مدلسازی اندرکنش بین هسته فولادی و بتن

جهت در نظر گرفتن اصطکاک بین مقطع فولادی و هسته فولادی در نرم افزار اجزای محدود آباکوس پس از تعریف دو قسمت بتنی و فولادی به صورت دو جسم سخت از گزینه Tangential Behavior برای تعریف اصطکاک بین دو سطح استفاده شده است. این گزینه رفتار تماس را در جهت مماس بر سطوح تعیین می کند.

و $A_g f_c \times 0.45$ است. I و H مشخص کننده مقطع فولادی I و H شکل است و در نمونه های با مقطع صلیبی شکل + می باشد و M50 نشان دهنده آرماتورهای عرضی مستطیلی ترکیب شده با ۸ ضلعی است که با فواصل یکسان ۵۰ میلی متر از یکدیگر می باشند. مطابق شکل (۲) بارگذاری به دو صورت بار محوری و بار جانبی بر ستون فولادی پوشیده شده با بتون اعمال شده است. در ابتدا بارگذاری محوری به کمک جکی با ظرفیت ۳۰۰۰ کیلونیوتون و به مقدار ۱۶۰۰ کیلونیوتون ($A_g f_c \times 0.28$) به صورت محوری در انتهای ستون اعمال گردید و پس از آن بارگذاری جانبی توسط جکی به ظرفیت ۵۰۰ کیلونیوتون و (در حالت کنترل جابجایی) به صورت رفت و برگشتی در بالای ستون و در فاصله ۶۰۰ میلی متری از پای ستون اعمال گردید. شکل (۳) جابجایی اعمال شده به انتهای ستون را نشان می دهد. در ابتدا ۳ دوره بارگذاری جانبی با حداکثر جابجایی نسبی برابر $\frac{\Delta}{L} = 0.25\%$ ، $\frac{\Delta}{L} = 0.5\%$ و $\frac{\Delta}{L} = 0.75\%$ اعمال گردید و پس از آن به مقدار $\frac{\Delta}{L} = 1.5\%$ ، $\frac{\Delta}{L} = 2\%$ و ... جابجایی نسبی از هر کدام ۳ بار تا مرحله خرابی به انتهای آزاد ستون اعمال گردید. این الگوی بارگذاری در کلیه نمونه های بررسی شده در این تحقیق یکسان است [۹].

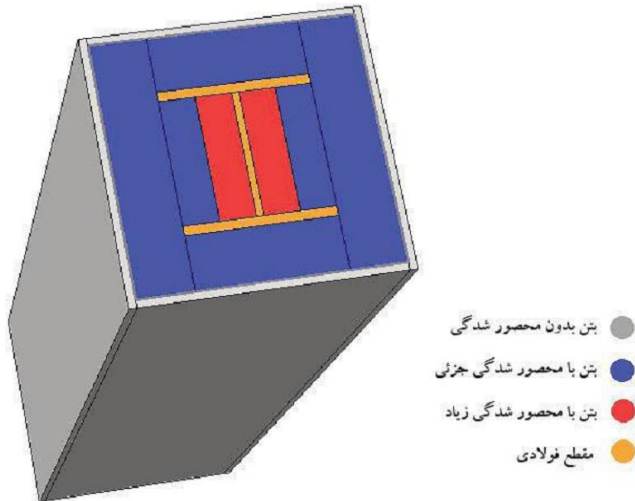
۲-۱- مشخصات مصالح

در نمونه های M۵۰-N۲ و N۲-I-M۵۰ مقاومت فشاری ۲۸ روزه نمونه استاندارد استوانه ای بتن به ترتیب برابر ۹۹.۸ و ۱۰۵.۴ مگاپاسکال در نظر گرفته شده است و این نمونه ها به ترتیب دارای

جدول ۱- مشخصات آرماتور های طولی و عرضی و مقاطع فولادی

Table 1. Characteristics of longitudinal and lateral armature and steel cross section

| شماره آرماتور | قطر (میلی متر) | سطح مقطع (میلی متر مربع) | مدول الاستیتیه آرماتور (مگاپاسکال) | تنش تسلیم (مگاپاسکال) | تنش نهایی (مگاپاسکال) |
|---------------|---------------------------------------|--------------------------|------------------------------------|-----------------------|-----------------------|
| Q10 | ۱۰ | ۷۸.۵ | ۲۰.۵×10^3 | ۴۱۴ | ۵۹۷ |
| Q6 | ۶ | ۲۸.۳ | ۲۰.۱×10^3 | ۴۹۹ | ۷۱۸ |
| قطعه فولادی | $h \times b \times t_w \times t_f$ | سطح مقطع (میلی متر مربع) | مدول الاستیتیه آرماتور (مگاپاسکال) | تنش تسلیم (مگاپاسکال) | تنش نهایی (مگاپاسکال) |
| I | $100 \times 68 \times 4.5 \times 7.6$ | ۱۴۲۰ | --- | --- | --- |
| + | ۲I | ۱۴۲۰ | ۲۰.۷×10^3 | ۲۵۴ | ۳۶۸ |
| H | $100 \times 100 \times 6 \times 8$ | ۲۱۹۰ | ۲۰.۷×10^3 | ۲۵۴ | ۳۶۸ |



شکل ۴- نواحی محصور شدگی ستون مرکب فولادی محاط در بتن در مدلسازی

Fig. 4. Areas of confinement of concrete-covered steel columns in modelling

المان های Solid، برای تحلیل رفتار غیرخطی مصالح ترد نظریه بتن استفاده می کنند. این المان سه بعدی و هشت گره ای است. این المان از نوع Solid برای تحلیل تنش یا تغییر مکان است. الگوی المان C3D8R در شکل ۵-الف آورده شده است [۱۲ و ۱۳].

المان خرپایی (المان T3D2) یکی از المان های سازه ای معمول قابل استفاده در نرم افزار آباکوس می باشد. المان خرپا عضوی است دو نیرویی که نیروها فقط در گره های آن اعمال شده و این گره ها تنها دارای درجه آزادی انتقالی می باشند. این المان ها فقط دارای مقاومت محوری می باشند. در این المان ها فقط گره ها نیرو را انتقال می دهند و لذا المان های خرپا مقاومت خمشی و برشی از خود نشان

ضریب اصطکاک بین بتن و فولاد در گزینه Friction Coefficient مقدار ۰,۶ (با چندین مرحله سعی و خطأ و تحلیل) در نظر گرفته شده است. همچنین برای در نظر گرفتن تماس این دو مصالح در جهت نرمال صفحات از اندرکنش hard contact استفاده شده است.

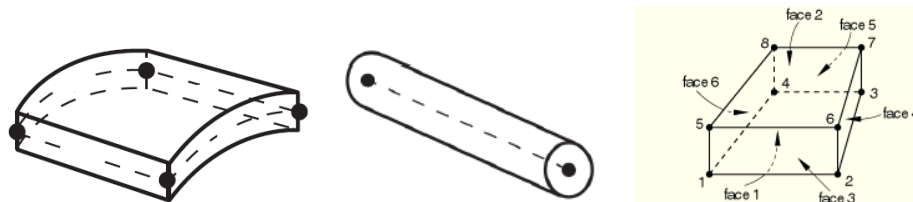
۲-۳- نحوه در نظر گرفتن رفتار بتن محصور

در این پژوهش مطابق شکل (۴) بتن با محصور شدگی زیاد در امتداد جان مقطع فولادی تا نصف عرض بال های مقطع فولادی جای دارد و بتن با محصور شدگی جزئی از نصف عرض بال های مقطع فولادی در امتداد جان مقطع تا خط مرکزی آرماتورهای طولی ادامه دارد و در آخر بتن محصور نشده به عنوان بخش خارجی باقی می ماند.

برای اطمینان از اینکه تمامی اجزای مدل به هم مرتبط هستند، مدل سازی المان محدود ستون فولادی محاط در بتن در ۶ مرحله بوجود می آید: ابتدا مدل سازی بتن کاور (بتن محصور نشده) به همراه تعریف مشخصات مصالح، دوم مدل سازی بتن با محصور شدگی جزئی به همراه تعریف مشخصات مصالح، در مرحله سوم بتن با محصور شدگی زیاد به همراه تعریف مشخصات مصالح مدل می شود. در مرحله چهارم مقطع فولادی سازه به همراه تعریف مشخصات فولاد مدل می شود، پنجم مدل سازی آرماتورهای طولی و عرضی و در نهایت ورق های بارگذاری بالایی و پایینی مدل می شود.

۲-۴- المان های استفاده شده

نرم افزار آباکوس از یک المان سه بعدی، C3D8R (از دسته



شکل ۵-الف-الگوی المان C3D8R، ب-المان T3D2، ج-المان S4R [۱۲ و ۱۳]
Fig. 5. AC3D8R Element, B- T3D2 Element, C- S4R Element

محوری کششی یا فشاری قرار دارند مانند آرماتورها استفاده می‌شود.

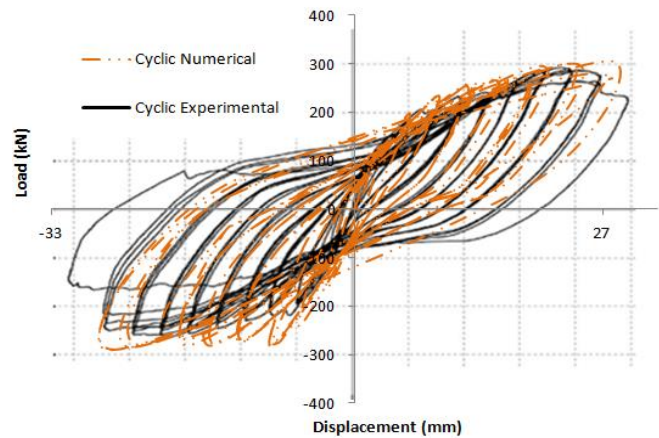
الگوی این المان در شکل ۵-ب آورده شده است [۱۲ و ۱۳].

برنامه المان محدود آباکوس قادر است که برای آنالیز های مدل هایی با ساختار مرکب استفاده شود. در واقع توسط این برنامه می‌توان مدل هایی با ترکیب مواد مختلف ایجاد نمود و نیز بتوان با استفاده از توانایی های این برنامه رفتاری مناسب در قسمت مرزی بین دو ماده برقرار کرد. المان پوسته چهار گرهی چند منظوره (المان S4R) قابلیت کاهش دادن نقاط انگرال گیری برای به حداقل رساندن محاسبات و در نتیجه کاهش زمان آنالیز را دارد می‌باشد. از آنجایی که اثر برش عرضی در این المان لحاظ شده است، می‌توان برای مدل های با ساختار باریک و ضخیم استفاده نمود. در این مطالعه از S4R که دسته المان های Shell است، برای مش بندی الیاف پلیمری استفاده شده است. الگوی این المان در شکل ۵-ج آورده شده است.

۳- صحبت سنجی مدل سازی در نرم افزار

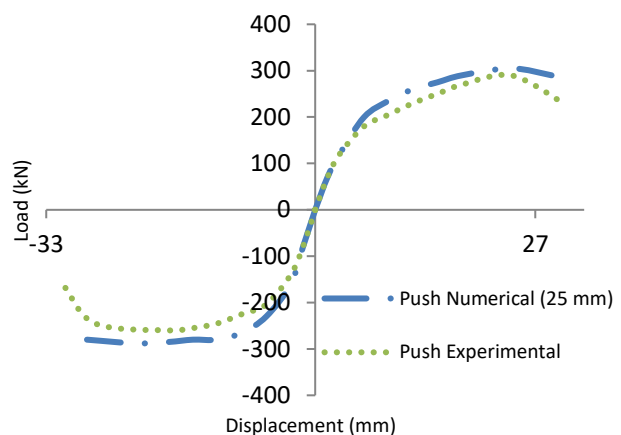
۳-۱- صحبت سنجی نمونه N2+-M50

اشکال (۶) و (۷) نمودارهای هیسترزیس و پوش بار-جایجایی نمونه N2+-M50 حاصل از مطالعه آزمایشگاهی در مقایسه با مطالعه عددی را نشان می‌دهد. همانطور که مشخص است نتایج حاصل از تحلیل عددی و مطالعه آزمایشگاهی تطابق نسبتاً خوبی با هم دارند. نکته حائز اهمیت تقارن نمونه در هر دو حالت مطالعه عددی و آزمایشگاهی است. شایان ذکر است که در نمودارهای هیسترزیس هرچه سطح زیر نمودار بیشتر باشد سازه بررسی شده انرژی بیشتری را دریافت می‌کند. نمودار پوش-بار جایجایی دارای ۴ قسمت است. قسمت اول نمودار که به صورت خطی است هنوز ترک خوردگی در نمونه اتفاق نیافتداده است. در قسمت دوم با کاهش شیب نمودار نشان دهنده شروع ترک خوردگی در نمونه است. در قسمت سوم که شیب



شکل ۶- نمودار هیسترزیس نمونه N2+-M50 حاصل از مطالعه آزمایشگاهی در مقایسه با مطالعه عددی

Fig. 6. Hysteresis chart of N2+-M50 sample derived from laboratory study compared with numerical study



شکل ۷- نمودار پوش نمونه N2+-M50 حاصل از مطالعه عددی در مقایسه با مطالعه آزمایشگاهی

Fig. 7. Push over charts of N2+-M50 sample derived from numerical study compared with laboratory study

نمی‌دهند. در واقع المان های خرپا اعضای سازه ای هستند که فقط نیروی محوری را انتقال داده و ممان و برش را انتقال نمی‌دهند. از این المان ها برای مدل های اعضای سازه ای که تحت نیروهای

جدول ۲- مقایسه نتایج حاصل از تحلیل عددی و مطالعه آزمایشگاهی نمونه N2+-M50
Table 2. Comparison of results of numerical analysis and laboratory study of N2+-M50 sample

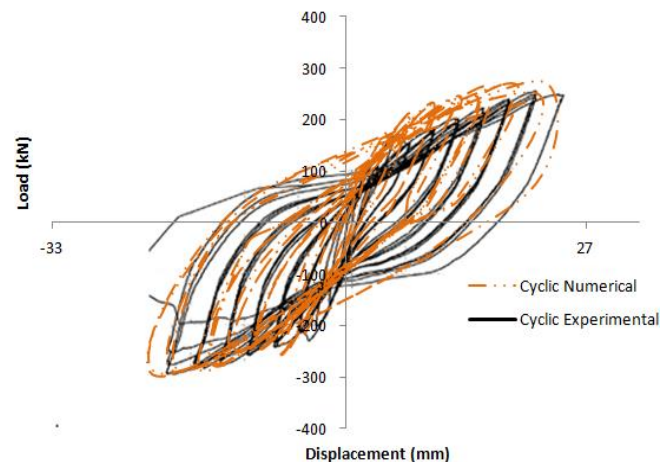
| نام نمونه | بار نهایی در حالت رفت (کیلونیوتن) | بار نهایی در حالت برگشت (کیلونیوتن) | نسبت به مطالعه آزمایشگاهی | بار نهایی در حالت برگشت نسبت به مطالعه آزمایشگاهی |
|---------------------------|--------------------------------------|--|------------------------------|---|
| N2+-M50 | ۳۰۴.۳۴ | ۲۸۴.۱ | ۱.۰۴۹ | ۱.۰۸۴ |
| حاصل از مطالعه آزمایشگاهی | | | | |
| N2+-M50 | ۲۹۰ | ۲۶۲ | ۱ | ۱ |

خرابی نمونه را نشان می دهد.

جهت تایید مدل سازی نمونه N2+-R50 در نرم افزار اجزای محدود آباکوس تحلیل نمونه ذکر شده با ابعاد المان متفاوت انجام گردید و نتایج حاصل از تحلیل عددی با ابعاد المان متفاوت با نتایج حاصل از مطالعه آزمایشگاهی مقایسه گردید. نتایج حاصل از تحلیل عددی با ابعاد المان ۲۵ میلی متر تطابق نسبتاً خوبی با نتایج حاصل از مطالعه آزمایشگاهی دارد. شایان ذکر است که با کوچکتر کردن ابعاد المان از ۲۵ میلی متر اولاً زمان تحلیل بسیار طولانی تر گردید ثانیاً نتایج حاصل از تحلیل عددی تفاوت چندانی با یکدیگر نداشتند به همین جهت ابعاد مناسب جهت مش بندی کلیه نمونه ها ۲۵ میلی متر انتخاب گردید. بار نهایی در حالت مطالعه عددی به مطالعه آزمایشگاهی با ابعاد المان ۲۵ میلی متر مطابق جدول (۲) به ترتیب در حالت بارگذاری به صورت رفت و برگشت ۴.۹ درصد و ۸.۴ درصد بیشتر از مطالعه آزمایشگاهی است. شایان ذکر است که مقادیر بار نهایی در نمونه N2+-M50 در حالت رفت و برگشت در حالت مطالعه عددی برابر ۳۰۴.۳۴ و ۲۸۴.۱ مگاپاسکال است و در حالت مطالعه آزمایشگاهی به ترتیب برابر ۲۹۰ و ۲۶۲ مگاپاسکال است.

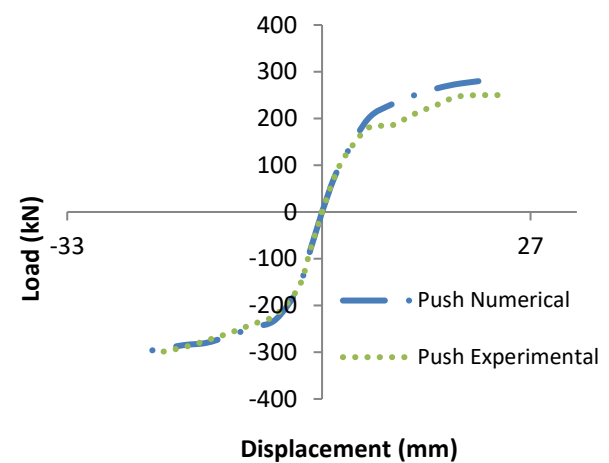
I-R40-N1 -۳-۲- صحبت سنجی نمونه

اشکال (۸) و (۹) نمودارهای هیسترزیس و پوش بار-جابجایی نمونه N2-I-M50 حاصل از مطالعه آزمایشگاهی در مقایسه با مطالعه عددی را نشان می دهد. در این نمونه نیز نتایج حاصل از تحلیل عددی و مطالعه آزمایشگاهی تطابق نسبتاً خوبی با هم دارند. جهت تایید مدل سازی نمونه N2-I-M50 نیز در نرم افزار اجزای محدود آباکوس تحلیل نمونه ذکر شده با ابعاد المان متفاوت انجام گردید و نتایج حاصل از تحلیل عددی با ابعاد المان متفاوت با نتایج



شکل ۸- نمودار هیسترزیس نمونه N2-I-M50 حاصل از مطالعه آزمایشگاهی در مقایسه با مطالعه عددی

Fig. 8. Hysteresis chart of N2-I-M50 sample derived from laboratory study compared with numerical study



شکل ۹- نمودار پوش نمونه N2-I-M50 حاصل از مطالعه عددی در مقایسه با مطالعه آزمایشگاهی

Fig. 9. Push over charts of N2-I-M50 sample derived from numerical study compared with laboratory study

نمودار بار- جابجایی نمونه بیشتر می شود فولاد در حال جاری شدن است و در انتهای در قسمت چهارم که نمودار به صورت نزولی می باشد

جدول ۳- مقایسه نتایج حاصل از تحلیل عددی و مطالعه آزمایشگاهی نمونه N2-I-M50
Table 3. Comparison of results of numerical analysis and laboratory study of N2-I-M50 sample

| نام نمونه | بار نهایی در حالت رفت (کیلونیوتن) | بار نهایی در حالت برگشت (کیلونیوتن) | بار نهایی در حالت رفت نسبت به مطالعه آزمایشگاهی | بار نهایی در حالت برگشت نسبت به مطالعه آزمایشگاهی |
|---------------------------|--------------------------------------|--|---|---|
| N2-I-M50 | ۲۹۶.۴ | ۲۸۱.۶۵ | ۱.۰۳۲۳ | ۱.۰۲ |
| حاصل از مطالعه آزمایشگاهی | | | | |
| N2-I-M50 | ۲۸۷.۱ | ۲۷۶.۲ | ۱ | ۱ |

جدول ۴- مشخصات نمونه های بررسی شده با مقاومت فشاری متفاوت بتن
Table 4. Characteristics of the investigated specimens with different compressive strength of concrete

| نام نمونه | مقاطوم فشاری روزه بتن (مگاپاسکال) | بار محوری وارد برستون | ابعاد مقطع فولادی (میلی- متر) $t_f \times t_w \times b \times h$ | تنش تسلیم و تنش نهایی مقطع فولادی (مگاپاسکال) | فاصله آرماتورهای عرضی (میلی- متر) |
|------------|---|--------------------------|--|---|--|
| N2-+M50-30 | ۳۰ | $0.38 \times A_g f_c$ | $2 \times (7.6 \times 4.5 \times 68 \times 100)$ | ۳۶۸ و ۲۵۴ | ۵۰ |
| N2-+M50-50 | ۵۰ | $0.38 \times A_g f_c$ | $2 \times (7.6 \times 4.5 \times 68 \times 100)$ | ۳۶۸ و ۲۵۴ | ۵۰ |
| N2-+M50-70 | ۷۰ | $0.38 \times A_g f_c$ | $2 \times (7.6 \times 4.5 \times 68 \times 100)$ | ۳۶۸ و ۲۵۴ | ۵۰ |
| N2-+M50-90 | ۹۰ | $0.38 \times A_g f_c$ | $2 \times (7.6 \times 4.5 \times 68 \times 100)$ | ۳۶۸ و ۲۵۴ | ۵۰ |

تأثیر پارامترهای مختلف بر روی ظرفیت نهایی نمونه N2-+M50-۰ پرداخته شده است.

۴- بررسی تأثیر مقاومت بتن در ظرفیت نهایی نمونه N2-+M50-۰

برای تعریف مصالح بتن در نرم افزار اجزای محدود آباکوس مطابق معیار خرایی پلاستیته بتن^۱ علاوه بر تعریف رفتار فشاری و کششی بتن و همچنین پارامترهای خرایی برای رفتار فشاری و کششی بتن ۵ پارامتر به نام های زاویه اتساع بتن^۲، پتانسیل خروج از مرکزیت پلاستیک^۳، نسبت مقاومت فشاری دو محوره بتن به مقاومت فشاری تک محوره، پارامتر k و پارامتر ویسکو الاستیک^۴ نیز برای بتن تعریف می شود. از لحاظ فیزیکی زاویه اتساع (ψ) زاویه اصطکاک داخلی بتن می باشد که در اغلب موارد مقدار آن ۳۶ یا ۴۰ فرض می شود [۱۳]. زاویه اتساع کرنش پلاستیک بر اثر برش را در فاز بعد از الاستیک

حاصل از مطالعه آزمایشگاهی مقایسه گردید. نتایج حاصل از تحلیل عددی با ابعاد المان ۲۵ میلی متر تطابق نسبتاً خوبی با نتایج حاصل از مطالعه آزمایشگاهی دارد. در این نمونه نیز با کوچکتر کردن ابعاد المان از ۲۵ میلی متر اولاً زمان تحلیل بسیار طولانی تر گردید ثانیاً نتایج حاصل از تحلیل عددی تفاوت چندانی با یکدیگر نداشتند. بار نهایی در حالت مطالعه عددی به مطالعه آزمایشگاهی با ابعاد المان ۲۵ میلی متر مطابق جدول (۳) به ترتیب در حالت بارگذاری به صورت رفت و برگشت ۴,۹ درصد و ۸,۴ درصد بیشتر از مطالعه آزمایشگاهی است. شایان ذکر است که مقادیر بار نهایی در نمونه N2-I-M50-۰ در حالت رفت و برگشت در حالت مطالعه عددی برابر ۲۸۴,۱ و ۳۰۴,۳۴ مگاپاسکال است و در حالت مطالعه آزمایشگاهی به ترتیب برابر ۲۹۰ و ۲۶۲ مگاپاسکال است.

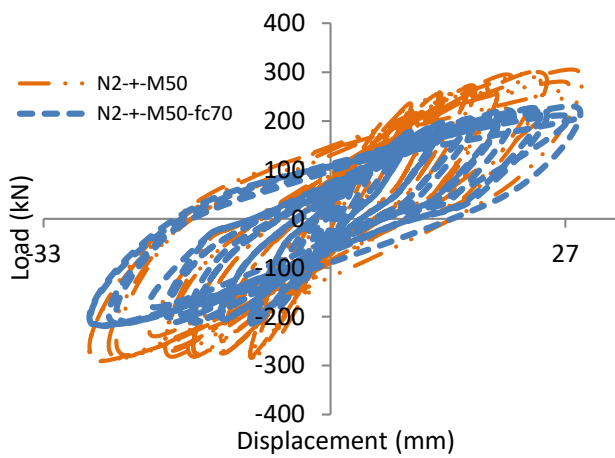
جهت تایید مدل سازی در نرم افزار اجزای محدود آباکوس دو نمونه N2-+M50-۰ و N2-I-M50-۰ در نرم افزار اجزای محدود آباکوس مدل سازی و تحلیل شد و نتایج حاصل از تحلیل عددی و آزمایشگاهی تطابق نسبتاً خوبی با یکدیگر داشتند. در ادامه به بررسی

۱ Concrete damaged plasticity

۲ Dilation Angle

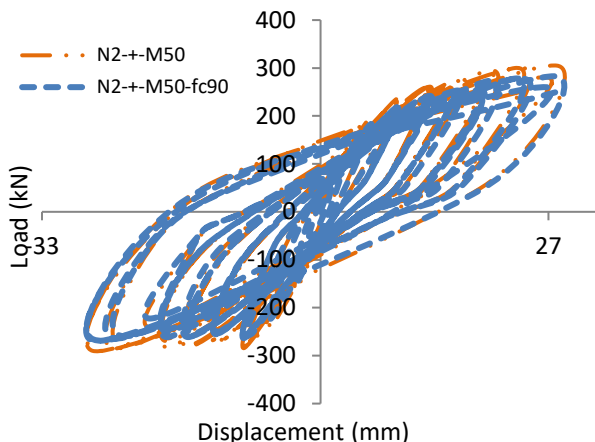
۳ Eccentricity

۴ Viscosity parameter



شکل ۱۲- نمودار هیسترزیس نمونه های N2+-M50 و N2+-fc70 حاصل از تحلیل عددی با نرم افزار آباکوس

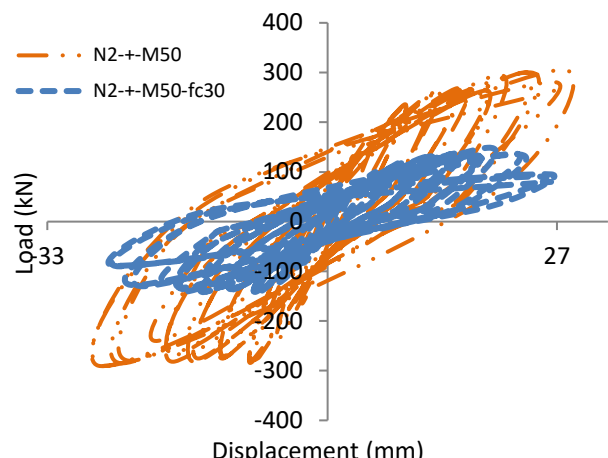
Fig. 12. Hysteresis charts of N2+-M50 and N2+-M50-fc70 samples derived from numerical analysis with abacus software



شکل ۱۳- نمودار هیسترزیس نمونه های N2+-M50 و N2+-fc90 حاصل از تحلیل عددی با نرم افزار آباکوس

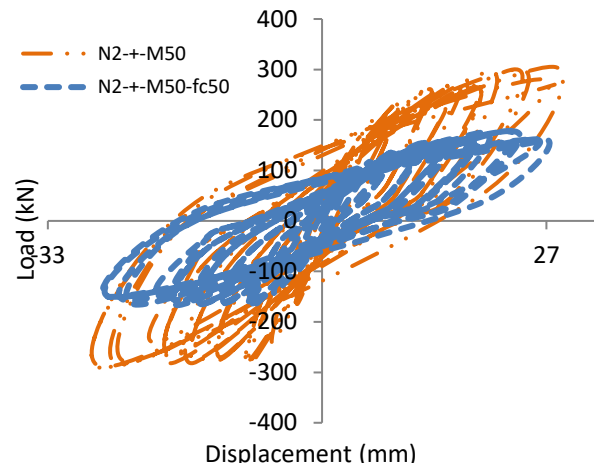
Fig. 13. Hysteresis charts of N2+-M50 and N2+-M50-fc90 samples derived from numerical analysis with abacus software

پس از چندین مرحله تحلیل بدست آمده است. (f_{bo}/f_c) نسبت مقاومت فشاری دو محوره بتن به مقاومت فشاری تک محوره می باشد. نتایج حاصل از آزمایشات نشان داده است که رابطه بین مقاومت فشاری تک محوره و دو محوره بتن مطابق رابطه $f_{bo} = 1.1624 f_c$ می باشد [۱۲]. پارامتر ویسکوالاستیک (μ) که در مدل خسارت پلاستیک وجود دارد، در واقع برای همگرایی بهتر گام ها در آباکوس استفاده می شود و مقدار آن را بایستی با چند بار تحلیل بدست آورد. μ کوچکترین عدد مثبتی است که باعث همگرایی بهتر تحلیل می شود. این پارامتر امکان خروج تدریجی از سطح پتانسیل پلاستیک



شکل ۱۰- نمودار هیسترزیس نمونه های N2+-M50 و N2+-fc30 حاصل از تحلیل عددی با نرم افزار آباکوس

Fig. 10. Hysteresis charts of N2+-M50 and N2+-M50-fc30 samples derived from numerical analysis with abacus software



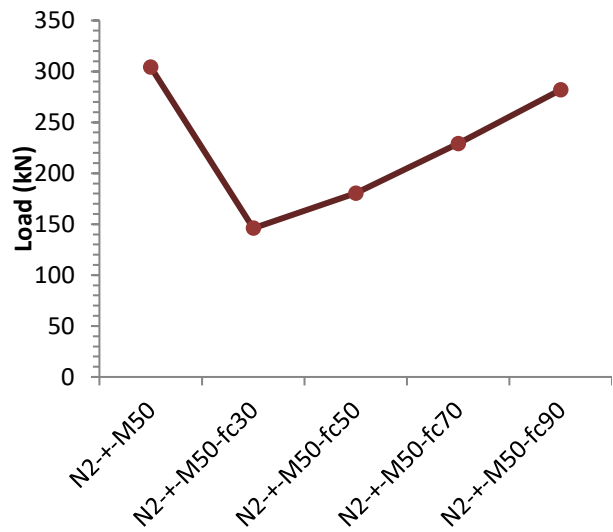
شکل ۱۱- نمودار هیسترزیس نمونه های N2+-M50 و N2+-fc50 حاصل از تحلیل عددی با نرم افزار آباکوس

Fig. 11. Hysteresis charts of N2+-M50 and N2+-M50-fc50 samples derived from numerical analysis with abacus software

تعریف می نمایند. در حقیقت زاویه اتساع رابطه بین حجم و برش کرنشی را مطابق رابطه $(\delta\varepsilon_v)/(\delta\varepsilon_r) = -\Psi$ بیان می کند [۱۲]. هر چه مقدار این زاویه کوچکتر باشد رفتار مصالح ترد و هر چه این زاویه بزرگتر باشد ماده از خود رفتاری مانند مواد شکل پذیر نشان می دهد. این پارامتر برای بتن های مختلف پس از چندین مرحله تحلیل و مقایسه نتایج حاصل از تحلیل عددی و آزمایشگاهی بدست آمده است. پتانسیل خروج از مرکزیت پلاستیک، عدد کوچک مثبتی است که برابر نسبت مقاومت کششی به مقاومت فشاری بتن می باشد. مقدار پیش فرض آن ۰,۱ است. این پارامتر نیز برای بتن های مختلف

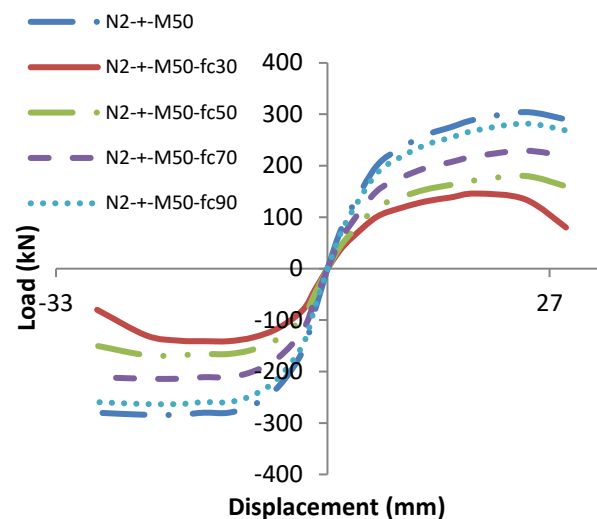
مساوی یک باشد شکل دایره و یا همان معیار در اگر پراگر^۲ بدست می‌آید. از لحاظ فیزیکی، kc نسبت فاصله بین محور هیدرواستاتیک با قسمت فشاری و قسمت کششی می‌باشد. در مدل پلاستیک آسیب دیده بتن مقدار پیش فرض ضریب ۰,۶۶۷ می‌باشد [۱۳] که براساس آزمایش‌های فشاری سه محوره و تحلیل‌های عددی پیشنهاد شده است. جهت بررسی تاثیر مقاومت بتن در ظرفیت نهایی نمونه ستون فولادی پوشیده شده با بتن ستون N2+-M50 با بتن با مقاومت‌های ۳۰، ۵۰، ۷۰ و ۹۰ مگاپاسکال بررسی عددی شد و نتایج حاصل از تحلیل عددی با نمونه ستون N2+-M50 با مقاومت فشاری ۲۸ روزه بتن برابر ۱۰۵,۴ مگاپاسکال مقایسه گردید. جدول (۴) مشخصات نمونه‌های بررسی شده در بخش مطالعات پارامتری را نشان می‌دهد. در نام‌گذاری نمونه‌های این بخش اعداد ۳۰، ۵۰، ۷۰ و ۹۰ به ترتیب مقادیر مقاومت فشاری ۲۸ روزه نمونه استاندارد استوانه ای را نشان می‌دهد.

اشکال (۱۰) تا (۱۳) نمودار هیسترزیس بار جابجایی نمونه‌های N2+-M50-fc30، N2+-M50-fc50، N2+-M50-fc70 و N2+-M50-fc90 حاصل از تحلیل عددی با نرم افزار اجزای محدود آباکوس را نشان می‌دهد. نتایج نشان می‌دهد که با افزایش مقاومت بتن ظرفیت نهایی و سختی نمونه‌ها نیز افزایش یافته است. با توجه به اینکه بار جابجایی بصورت رفت و برگشتی می‌باشد، نمودار بار جابجایی بصورت هیسترزیس (همان حلزونی) است. نمودار هیسترزیس چون از جنس بار-جابجایی است، هرچه سطح زیر نمودار هیسترزیس بیشتر باشد انرژی که سازه جذب می‌کند، بیشتر است پس میزان شکل پذیری سازه بیشتر است. در نمودار هیسترزیس تقارن نشان دهنده یکسان بودن رفتار نسبت به کشش و فشار است. هرچه عضو لاغرتر باشد سطح زیر نمودار کمتر است و در تعداد سیکل کمتری گسیخته می‌شود. همچنین هرچه نمودار هیسترزیس تقارن بیشتری داشته باشد یعنی هرچه شکل حلزون متقارن‌تر باشد عملکرد بهتری در برابر زلزله دارد. همانطور که مشاهده می‌شود با افزایش مقاومت بتن سطح زیر نمودار هیسترزیس افزایش یافته است و این مساله نشان دهنده آن است که با افزایش مقاومت بتن سازه شکل پذیرتر است و انرژی ای که سازه جذب می‌کند بیشتر است.



شکل ۱۴- نمودار پوش نمونه‌های مختلف حاصل از تحلیل عددی با نرم افزار آباکوس

Fig. 14. Push over charts of various examples derived from numerical analysis with abacus software



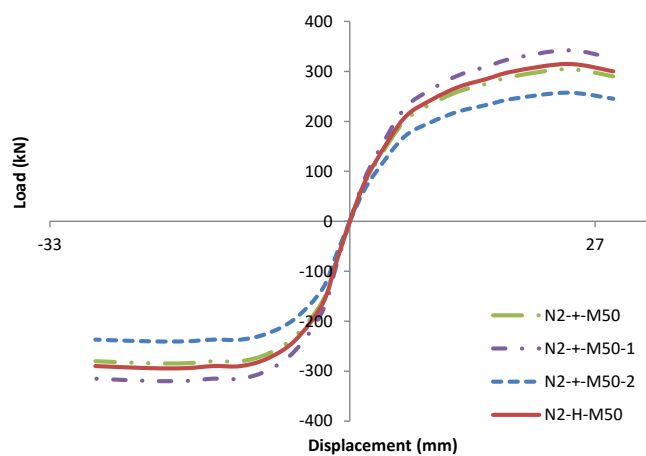
شکل ۱۵- نمودار مبلغ ای ظرفیت نهایی نمونه‌های مختلف حاصل از تحلیل عددی با نرم افزار آباکوس

Fig. 15. Bar graph of the final capacitance of different samples obtained by numerical analysis with Abacus software

را در شرایط ناهمگرایی‌های جزئی تحلیل فراهم می‌سازد [۱۳]. این پارامتر نیز برای بتن‌های مختلف پس از چندین مرحله تحلیل بدست آمده است. طبق اصلاح صورت پذیرفته در مدل پلاستیک آسیب دیده بتن، لزومی بر دایروی بودن صفحه‌ی دوباتوریک^۱ وجود ندارد و می‌تواند شکل دیگری نیز داشته باشد. شکل این صفحه با ضریب تعیین می‌شود. این ضریب مقداری بیش از ۰,۵ دارد و وقتی

جدول ۵- بار نهایی و نسبت بار نهایی نمونه های مختلف نسبت به نمونه N2+-M50
Table 5. Final load and final load ratio of different samples compared to the N2+-M50 sample

| نام نمونه | بار نهایی در حالت رفت (کیلونیوتن) | بار نهایی در حالت برگشت (کیلونیوتن) | بار نهایی در حالت رفت نسبت به نمونه N2+-M50. | بار نهایی در حالت برگشت نسبت به نمونه N2+-M50. |
|--------------|-----------------------------------|-------------------------------------|--|--|
| N2+-M50 | ۳۰۴.۳۴ | ۲۸۱.۲ | ۱ | ۱ |
| N2+-M50-fc30 | ۱۴۴.۷ | ۱۴۱.۹ | ۰.۴۷۵ | ۰.۵۰۴ |
| N2+-M50-fc50 | ۱۷۹.۸۷ | ۱۶۹.۲۸۸ | ۰.۵۹۱ | ۰.۶۰۲ |
| N2+-M50-fc70 | ۲۲۹.۴ | ۲۱۳.۹۹ | ۰.۷۵۳ | ۰.۷۶ |
| N2+-M50-fc90 | ۲۸۱.۹۸ | ۲۶۴.۳۴ | ۰.۹۲۶ | ۰.۹۴ |



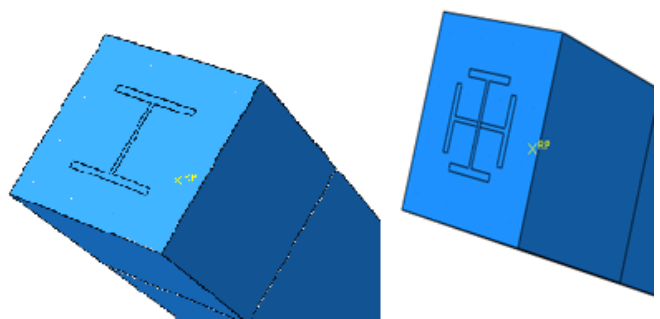
شکل ۱۷- نمودار پوش نمونه های مختلف حاصل از تحلیل عددی با نرم افزار آباکوس

Fig. 17. Push over charts of various examples derived from numerical analysis with abacus software

جهت بررسی ابعاد مقطع صلیبی شکل فولادی با ابعاد هندسی مقطع I شکل برابر $100 \times 68 \times 6,5 \times 9,6$ میلی متر، به عبارت دیگر با افزایش ۲ میلی متر در ضخامت جان و بال مقطع فولادی، دو مقطع I شکل عمود بر هم (در حالت دوم دارای مساحت یکسان با یک مقطع I شکل تنها) و مقطع H شکل با ابعاد $100 \times 100 \times 6 \times 8$ میلی متر نیز بررسی گردید. شایان ذکر است که مساحت مقطع H شکل تقریباً برابر با مساحت مقطع صلیبی شکل در نمونه N2+-M50 است.

۵- بررسی تاثیر ابعاد مقطع صلیبی شکل فولادی

جهت بررسی ابعاد مقطع فولادی علاوه بر بررسی ستون فولادی با مقطع صلیبی شکل با ابعاد ذکر شده در جدول (۱)، ستون فولادی با مقطع صلیبی مت Shank از دو مقطع I شکل عمود بر هم (در حالت اول با ابعاد هندسی مقطع I شکل برابر $100 \times 68 \times 6,5 \times 9,6$ میلی متر، به عبارت دیگر با افزایش ۲ میلی متر در ضخامت جان و بال مقطع فولادی)، دو مقطع I شکل عمود بر هم (در حالت دوم دارای مساحت یکسان با یک مقطع I شکل تنها) و مقطع H شکل با ابعاد $100 \times 100 \times 6 \times 8$ میلی متر نیز بررسی گردید. شایان ذکر است که مساحت مقطع H شکل تقریباً برابر با مساحت مقطع صلیبی شکل در نمونه N2+-M50 است.



شکل ۱۶- سطح مقطع ستون الف- مقطع صلیبی شکل، ب- مقطع H شکل

Fig. 16. Column cross section : A- Cross-shaped, B- H shaped

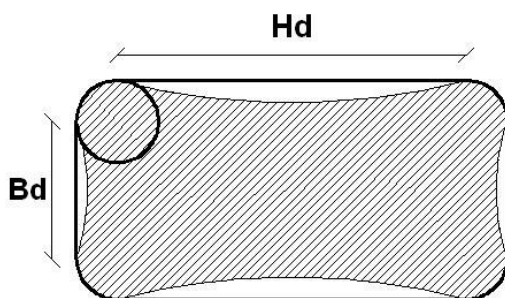
شکل (۱۴) نمودار پوش بار جابجایی نمونه های N2+-N2-fc70-M50+-N2-fc30-M50+-N2-fc90-M50 حاصل از تحلیل عددی با نرم افزار اجزای محدود آباکوس را نشان می دهد. شکل (۱۵) نمودار چنبر ظرفیت نهایی نمونه های ذکر شده را نشان می دهد. نتایج نشان می دهد که با افزایش مقاومت بتن ظرفیت نهایی و سختی نمونه ها نیز افزایش یافته است. مقادیر افزایش در ظرفیت نهایی این نمونه ها در جدول (۵) آورده شده است.

جدول (۵) بار نهایی و نسبت بار نهایی نمونه های N2+-M50-N2+-M50-fc70-N2+-M50-fc30-N2+-M50-fc90 نسبت به نمونه N2+-M50 را نشان می دهد. مطابق این جدول ظرفیت نهایی نمونه های نمونه های N2+-M50-fc30-N2+-M50-fc90-N2+-M50-fc70-N2+-M50-fc50 حاصل (در حالت رفت) نسبت به نمونه N2+-M50 به ترتیب برابر

جدول ۶- بار نهایی و نسبت بار نهایی نمونه های مختلف نسبت به نمونه N2+-M50

Table 6. Final load and final load ratio of different samples compared to the N2+-M50 sample

| نام نمونه | بار نهایی در حالت رفت (کیلونیوتن) | بار نهایی در حالت برگشت (کیلونیوتن) | بار نهایی در حالت رفت نسبت به نمونه N2+-M50. | بار نهایی در حالت برگشت نسبت به نمونه N2+-M50 |
|-----------|-----------------------------------|-------------------------------------|--|---|
| N2+-M50 | ۳۰۴.۳۴ | ۲۸۱.۲ | ۱ | ۱ |
| N2+-M50-1 | ۳۴۲.۲۵ | ۳۱۹.۴۸ | ۱.۱۲ | ۱.۱۳۶ |
| N2+-M50-2 | ۲۵۷.۳۷ | ۲۴۰.۲۶ | ۰.۸۴۵ | ۰.۸۵ |
| N2-H-M50 | ۳۱۴.۸۶ | ۲۹۳.۹۲ | ۱.۰۳۴ | ۱.۰۴۵ |



شکل ۱۸- مشخصات مقطع مستطیلی جهت محاسبه [۱۴]
Fig. 18. Rectangular cross section specifications for k_e calculation

یک منحنی شناخته شده برای نرم افزار می توان روابط ارائه شده در مرجع [۱۴] را جهت اصلاح نمودار تنفس کرنش بتن بکار برد. منحنی تنفس-کرنش بتن به ازای هر فشار جانبی ثابت از روابط ذیل بدست می آید که به صورت نقطه یابی نمودار تنفس-کرنش بتن محصور شده در نرم افزار وارد می شود. مشخصات نقاط مهم منحنی تنفس-کرنش بتن محصور شده با روابط ذیل تعیین می گردد:

$$f'_{cc} = f'_c + k_1 \cdot f'_l \quad (1)$$

$$\varepsilon_{cc} = \varepsilon_c \cdot (1 + k_2 \cdot \frac{k_1 \cdot k_e \cdot f_l}{f'_c}) \quad (2)$$

$$f'_l = k_e \times f_l \quad (3)$$

$$k_e = 1 - \frac{H_d^2 + B_d^2}{3 \cdot [H \cdot B - 4 \cdot \left(r^2 - \frac{\pi r^2}{4} \right)]} \quad (4)$$

شکل (۱۸) سطح مقطع یک نمونه مربع مستطیل شکل با گوشه های گرد که بوسیله فولاد محصور شده است را نشان می دهد.

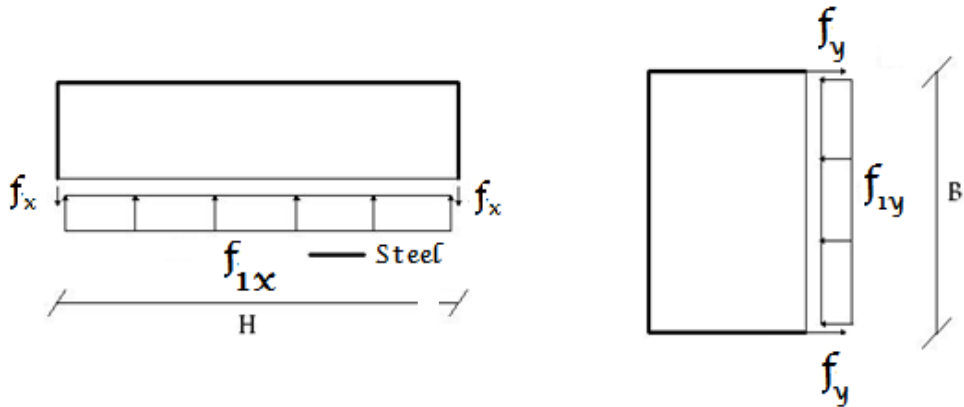
شکل (۱۶) سطح مقطع ستون صلیبی و H شکل را که در نرم افزار اجزای محدود آباکوس مدل سازی شده است را نشان می دهد. نام این نمونه در حالت اول N2+-M50 و در حالت دوم نام نمونه N2+-M50-1 و در حالت سوم N2-H-M50 است.

شکل (۱۷) نمودار پوش بار جابجایی نمونه های N2+-M50-1-N2+-M50-2-N2+-M50-3-N2+-M50 حاصل از تحلیل عددی با نرم افزار اجزای محدود آباکوس را نشان می دهد. نتایج نشان می دهد که ظرفیت نهایی نمونه N2+-M50-1 نسبت به نمونه N2+-M50 افزایش نسبتاً متوسطی داشته است همچنین ظرفیت نهایی نمونه N2+-M50-2 نسبت به نمونه N2+-M50 کاهش متوسطی داشته است. مقطع H شکل ذکر شده افزایش نسبتاً کمی نسبت به مقطع N2+-M50 دارد. به عبارت دیگر تاثیر این دو مقطع در حالت خمس حول محور قوی مقطع H شکل و با مساحت های برابر تقریباً یکسان است. جدول (۶) بار نهایی و نسبت بار نهایی نمونه های N2-H-M50-1-N2+-M50-2-N2+-M50-3-N2+-M50 به ترتیب ۱۲٪ افزایش، ۱۵.۵٪ کاهش و ۳.۴٪ افزایش داشته است.

۶- بررسی تاثیر مقاوم سازی با الیاف پلیمری کربن در ظرفیت نهایی نمونه N2+-M50

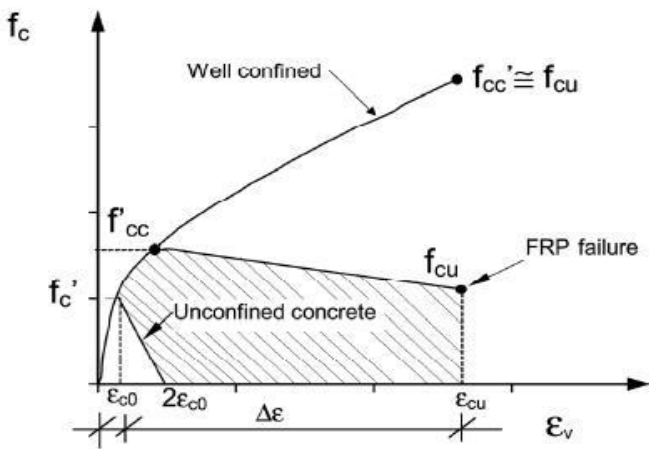
۱- رفتار بتن محصور شده بوسیله فولاد تحت اثر نیروی فشاری یک محوره

به منظور تعریف رفتار ناحیه فشاری بتن محصور شده، بر اساس



شکل ۱۹- فشار ناشی از فولاد در مقاطع مستطیل با دوربیچ کامل [۱۴]

Fig. 19. Pressure caused by steel in rectangular sections wrapped around it with lateral reinforcement



شکل ۲۰- منحنی تنش-کرنش بتن محصور شده با فولاد [۱۴]

Fig. 20. Stress-strain curve of steel enclosed concrete

شده، f'_c : مقاومت فشاری بتن، ϵ_0 : کرنش متناظر با E'_c ، f'_c : کرنش متناظر با مدول الاستیسیته بتن، f_x : تنش تسلیم فولاد در راستای محور y، f_y : تنش تسلیم فولاد در راستای محور x، f_{1x} : فشار ناشی از فولاد های موازی محور x، f_{1y} : فشار ناشی از فولاد های موازی محور y، σ_c : فشار تک محوره بتن محصور شده، ϵ_c : کرنش متناظر با σ_c ، E_c : مدول الاستیسیته بتن.

شکل (۲۰)، منحنی تنش-کرنش بتن محصور شده را با میزان متفاوت محصورشده بگویی بصورت شماتیک نشان می دهد.

همان طور که در شکل (۲۰) مشاهده می شود در این مدل (منحنی) شیب ابتدای منحنی تا نزدیکی مقاومت فشاری بتن غیر محصور شده معادل با مدول الاستیسیته بتن می باشد. اما شیب

در این شکل:

H_d : عرض مقطع مستطیل پس از کسر دو برابر شعاع گرد شده گوشه ها، B_d : ارتفاع مقطع مستطیل پس از کسر دو برابر شعاع گرد شده گوشه ها، H : عرض مقطع مستطیل، B : ارتفاع مقطع مستطیل، r : شعاع گرد شده گوشه های مقطع مستطیل می باشد. همچنین سطح هاشور خورده، قسمتی از سطح مقطع موثر بتن می باشد که محصور شده است.

$$f_{1x} = \frac{2F_x}{H} \quad (5)$$

$$f_{1y} = \frac{2F_y}{B} \quad (6)$$

$$f_l = \frac{f_{1x} \cdot H + f_{1y} \cdot B}{B + H} \quad (7)$$

$$\sigma_c = \frac{\frac{\epsilon_c}{\epsilon_{cc}} \gamma}{\gamma - 1 + \frac{\epsilon_c}{\epsilon_{cc}} \gamma} \quad (8)$$

$$\gamma = \frac{E_c}{E_c - \frac{f'_c}{\epsilon_{cc}}} \quad (9)$$

$$\epsilon_{cu} = \dots + \frac{2.5 \cdot \rho_f \cdot f_j \cdot \epsilon_{ju}}{f'_c} \quad (10)$$

در روابط فوق، ϵ_{ju} : کرنش موثر فولاد، ρ_f : نسبت حجمی فولاد در واحد حجم بتن، f'_c : مقاومت فشاری بتن محصور شده، ϵ_{cc} : کرنش متناظر با مقاومت فشاری بتن محصور

جدول ۷- مشخصات CFRP
Table 7. Characteristics of CFRP

| درصد کرنش نهایی | مقاومت کششی نهایی (مگا پاسکال) | مدول الاستیسیته (مگا پاسکال) | ضخامت (mm) | نوع الیاف استفاده شده |
|-----------------|-------------------------------------|----------------------------------|------------|-----------------------|
| ۱٪/۵۵ | ۳۸۰۰ | ۲۴۰۰۰ | ۰/۱۷۶ | CFRP 240 |

جدول ۸- مشخصات نمونه های بررسی شده در حالت مقاوم سازی با الیاف پلیمری کربن
Table 8. Characteristics of the specimens examined in the case of carbon fiber reinforced

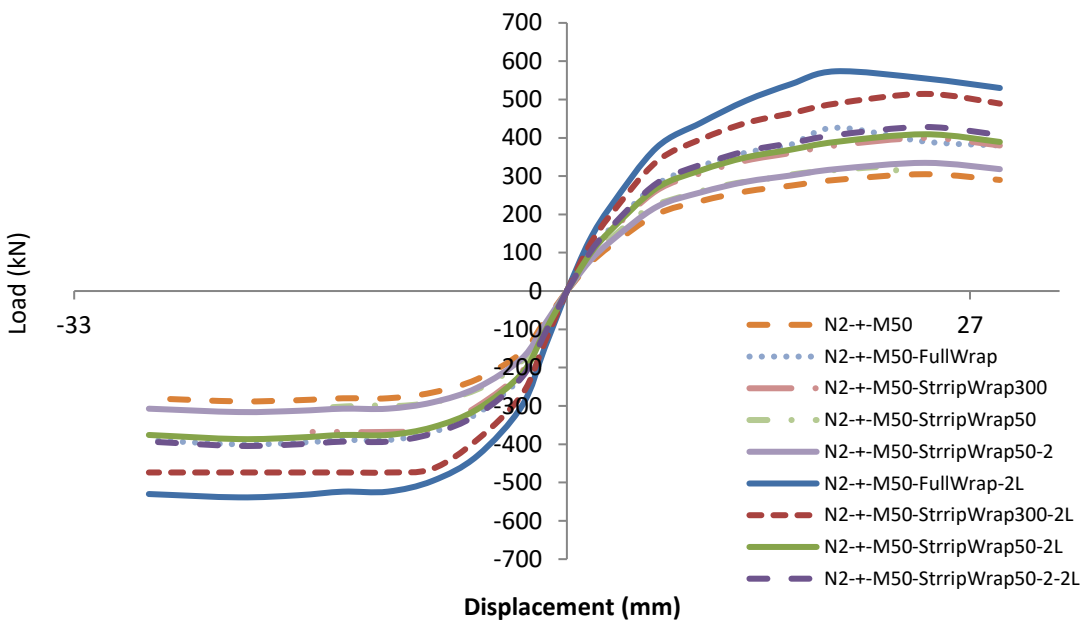
| تعداد لایه های contra saz | فواصل بین الیاف (میلی متر) | محل قرارگیری الیاف (میلی متر) | ابعاد مقطع فولادی صلبی (میلی متر) $t_f \times t_w \times b \times h$ | مقاومت فشاری ۲۸ روزه بتن (مگاپاسکال) | نام نمونه |
|------------------------------------|-------------------------------|------------------------------------|--|---|-------------------------------|
| --- | --- | --- | ۲×(۷.۶×۴.۵×۶۸×۱۰۰) | ۱۰۳.۷ | N2-+M50 |
| ۱ | --- | کل ستون | ۲×(۷.۶×۴.۵×۶۸×۱۰۰) | ۱۰۳.۷ | N2-M-M50-FullWrap |
| ۱ | --- | ۳۰۰ میلی متر از پای گیردار ستون | ۲×(۷.۶×۴.۵×۶۸×۱۰۰) | ۱۰۳.۷ | N2-+M50- StrripWrap300 |
| ۱ | ۵۰ | ۳۰۰ میلی متر از پای گیردار ستون | ۲×(۷.۶×۴.۵×۶۸×۱۰۰) | ۱۰۳.۷ | N2-+M50- StrripWrap50 |
| ۱ | ۵۰ | کل ستون | ۲×(۷.۶×۴.۵×۶۸×۱۰۰) | ۱۰۳.۷ | N2-+M50- StrripWrap50-2 |
| ۲ | --- | کل ستون | ۲×(۷.۶×۴.۵×۶۸×۱۰۰) | ۱۰۳.۷ | N2-+M50-FullWrap- 2L |
| ۲ | --- | کل ستون | ۲×(۷.۶×۴.۵×۶۸×۱۰۰) | ۱۰۳.۷ | N2-+M50- StrripWrap300-2L |
| ۲ | ۵۰ | کل ستون | ۲×(۷.۶×۴.۵×۶۸×۱۰۰) | ۱۰۳.۷ | N2-+M50- StrripWrap50-2L |
| ۲ | ۵۰ | کل ستون | ۲×(۷.۶×۴.۵×۶۸×۱۰۰) | ۱۰۳.۷ | N2-+M50- StrripWrap50-2-2L |

در پای ستون است و می توان با انجام مقاوم سازی پای ستون با الیاف پلیمری کربن ظرفیت نهایی نمونه را افزایش داد. در این بخش به مقاوم سازی ستون با الیاف پلیمری کربن پرداخته می شود. مشخصات الیاف پلیمری کربن مورد استفاده در این پژوهش شامل ضخامت الیاف، مدول الاستیسیته، مقاومت کششی و درصد کرنش نهایی الیاف در جدول (۷) آورده شده است. با توجه اینکه الیاف پلیمری در راستای طولی الیاف عملکرد مناسبی دارند، بدین منظور جهت تعریف خصوصیات الیاف در نرم افزار اجزای محدود آباکوس

قسمت دوم منحنی تنش-کرنش (پس از مقاومت فشاری بتن، f'_{cc}) تابع سختی فولاد محصور کننده است.

در این شکل، ε_{cu} کرنش نهایی بتن محصور بوسیله فولاد، ε_0 کرنش متناظر با f'_c می باشد.

۶- بررسی رفتار نمونه های مقاوم سازی شده ترک خوردنگی ستون از پای گیردار ستون اتفاق می افتد و به سمت انتهای آزاد ستون ادامه می یابد. بدین معنا که خرابی ستون



شکل ۲۱- نمودار پوش نمونه های مختلف حاصل از تحلیل حاصل با نرم افزار آباکوس

Fig. 21. Push over charts of various examples derived from numerical analysis with abacus software

طول کل ستون این نوع مقاوم سازی انجام شده است. نمونه N2+-M50-FullWrap-2L دارای دو لایه الیاف پلیمری کربن به صورت دورپیچ کامل در سرتاسر ستون است. نمونه N2+-M50-StrripWrap300 دارای دو لایه الیاف پلیمری کربن به صورت دورپیچ کامل در طول ۳۰۰ میلی متر از پای ستون است. نمونه N2+-M50-StrripWrap50 دارای دو لایه الیاف پلیمری کربن به صورت دورپیچ کامل و نواری هایی با عرض ۵۰ میلی متر و فواصل خالص بین نوارها برابر ۵۰ میلی متر است که در طول ۳۰۰ میلی متر از پای ستون این نوع مقاوم سازی انجام شده است. نمونه N2+-M50-StrripWrap50-2 دارای دو لایه الیاف پلیمری کربن به صورت دورپیچ کامل و نواری هایی با عرض ۵۰ میلی متر و فواصل خالص بین نوارها برابر ۵۰ میلی متر است که در طول کل ستون این نوع مقاوم سازی انجام شده است.

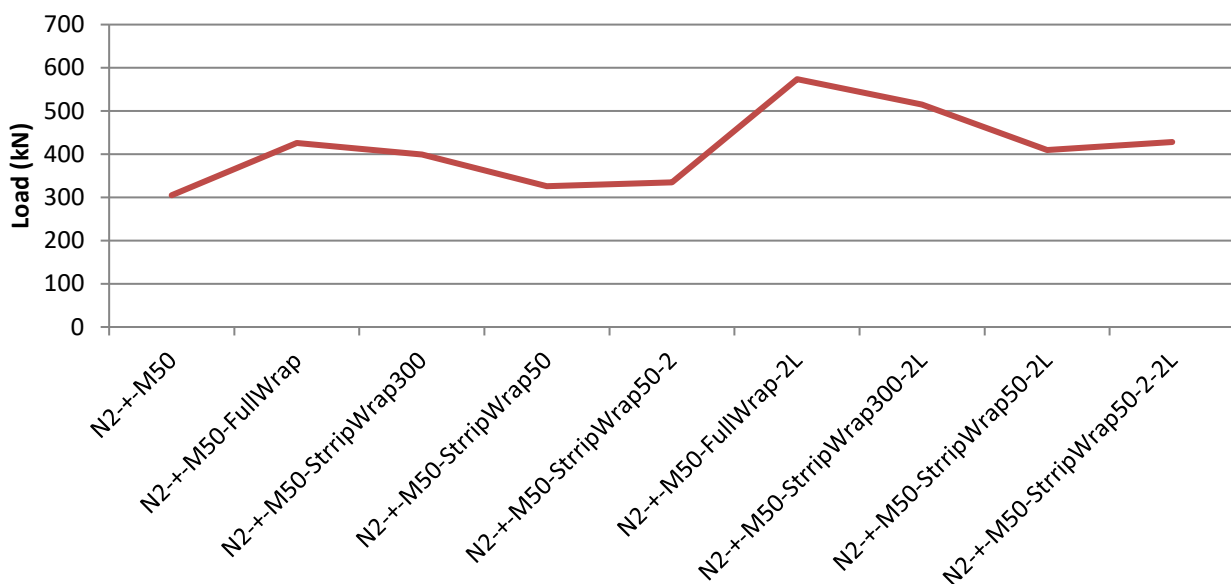
شکل (۲۱) نمودار پوش بار جابجایی نمونه های N2+-M50, N2+-M50-StrripWrap300, N2+-M50-FullWrap, N2+-M50-StrripWrap50, N2+-M50-StrripWrap50-2, N2+-M50-FullWrap-2L, N2+-M50-StrripWrap50-2L-M50-StrripWrap300 دارای دو لایه الیاف پلیمری کربن به صورت دورپیچ کامل و نواری هایی با عرض ۵۰ میلی متر و فواصل خالص بین نوارها برابر ۵۰ میلی متر است که در طول

مدول الاستیسیته الیاف در راستای طولی الیاف برابر مقدار آوردده شده در جدول (۷) قرار داده شده است و در دو راستای دیگر عدد کوچکی وارد شده است. جدول (۸) مشخصات نمونه های بررسی شده با تغییر در نحوه مقاوم سازی با الیاف پلیمری کربن را در بخش مطالعات پارامتری نشان می دهد. در کلیه نمونه ها جهت الیاف در راستای عرضی ستون است. نمونه N2+-M50-FullWrap دارای یک لایه الیاف پلیمری کربن به صورت دورپیچ کامل در سرتاسر ستون است. نمونه N2+-M50-StrripWrap300 دارای یک لایه الیاف پلیمری کربن به صورت دورپیچ کامل در طول ۳۰۰ میلی متر از پای ستون است (انتخاب این عدد به دلیل آن است که در مطالعه آزمایشگاهی نمونه N2+-M50 در انتهای آزمایش تقریبا ۳۰۰ میلی متر پای ستون دچار خرابی کلی شده است). نمونه N2+-M50-StrripWrap50 دارای یک لایه الیاف پلیمری کربن به صورت دورپیچ کامل و نواری هایی با عرض ۵۰ میلی متر و فواصل خالص بین نوارها برابر ۵۰ میلی متر است که در طول ۳۰۰ میلی متر از پای ستون این نوع مقاوم سازی انجام شده است. نمونه N2+-M50-StrripWrap50-2 دارای یک لایه الیاف پلیمری کربن به صورت دورپیچ کامل و نواری هایی با عرض ۵۰ میلی متر و فواصل خالص بین نوارها برابر ۵۰ میلی متر است که در طول ۳۰۰ میلی متر از پای ستون این نوع مقاوم سازی انجام شده است.

جدول ۹- بار نهایی و نسبت بار نهایی نمونه های مختلف نسبت به نمونه N2+-M50

Table 9. Final load and final load ratio of different samples compared to the N2+-M50 sample

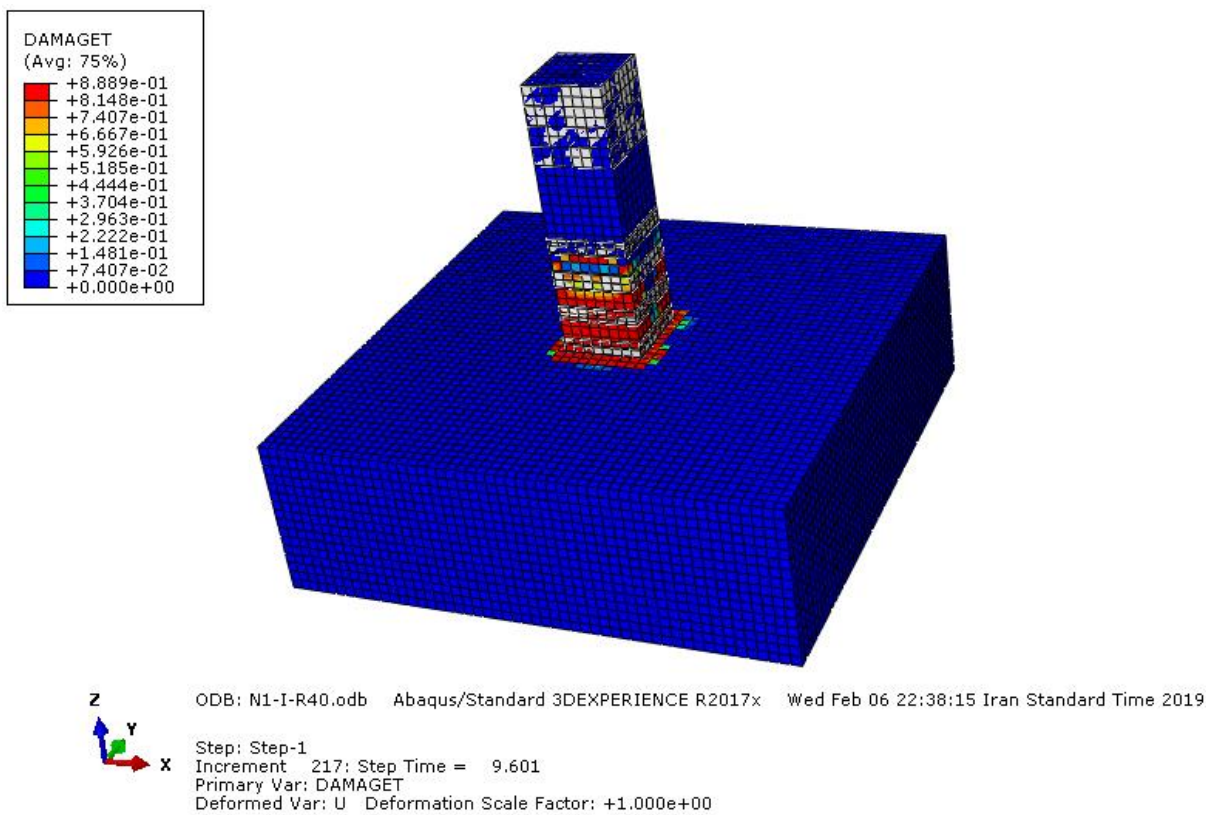
| نام نمونه | بار نهایی در حالت رفت (کیلونیوتن) | بار نهایی در حالت برگشت (کیلونیوتن) | بار نهایی در حالت رفت نسبت به نمونه N2+-M50. | بار نهایی در حالت برگشت نسبت به نمونه N2+-M50. |
|---------------------------|-----------------------------------|-------------------------------------|--|--|
| N2+-M50 | ۳۰۴.۳۴ | ۲۸۱.۲ | ۱ | ۱ |
| N2+-M50-FullWrap | ۴۲۶.۳ | ۴۰۰.۳۲ | ۱.۴ | ۱.۴۲ |
| N2+-M50-StrripWrap300 | ۳۹۹.۵۵ | ۳۶۷.۸ | ۱.۳۱۲ | ۱.۳۰۷ |
| N2+-M50-StrripWrap50 | ۳۲۵.۷۴ | ۳۰۷.۵۸ | ۱.۰۷ | ۱.۰۹۳ |
| N2+-M50-StrripWrap50-2 | ۳۳۴.۵۸ | ۳۱۵.۹۳ | ۱.۰۹۹ | ۱.۱۲۳ |
| N2+-M50-FullWrap-2L | ۵۷۳.۶ | ۵۳۸.۷ | ۱.۸۸۴ | ۱.۹۱۵ |
| N2+-M50-StrripWrap300-2L | ۵۱۴.۵۶ | ۴۷۳.۶۷ | ۱.۶۹ | ۱.۶۸۴ |
| N2+-M50-StrripWrap50-2L | ۴۰۹.۳۱ | ۳۸۶.۴۹ | ۱.۳۴۴ | ۱.۳۷۴ |
| N2+-M50-StrripWrap50-2-2L | ۴۲۸.۲۲ | ۴۰۴.۳۶ | ۱.۴۰۷ | ۱.۴۳۷ |



شکل ۲۲- نمودار چندبر نمونه های مختلف حاصل از تحلیل عددی با نرم افزار آباکوس

جدول (۹) و شکل (۲۲) به ترتیب مقادیر ظرفیت نهایی و نمودار چندبر مقایسه ظرفیت نهایی نمونه ها را نشان می دهد. مطابق نمودار (۱۵) موثرترین حالت مقاوم سازی با الیاف پلیمری کربن به صورت دورپیچ کامل و در سرتاسر ستون است ولی تفاوت بار نهایی در حالت دورپیچ کامل و در سرتاسر ستون با حالت دورپیچ کامل با عرض ۳۰۰ میلی متر در پای ستون در حالت الیاف به صورت یک لایه کم است

و ۲L-N2+-M50-StrripWrap50-2L حاصل از تحلیل عددی با نرم افزار اجزای محدود آباکوس را نشان می دهد. نتایج نشان می دهد که اولاً تفاوت بار نهایی برای ستون های مقاوم سازی در ناحیه پای گیردار ستون در مقایسه با مقاوم سازی کل ستون کم است ثانیاً استفاده از الیاف پلیمری کربن به صورت دورپیچ کامل تاثیر بسیار بالاتری نسبت به استفاده از الیاف کربن به صورت نواری دارد.



شکل ۲۳- ترک خورده‌گی نمونه N2+-M50-StrripWrap50
Fig. 23. Cracking of N2+-M50-StrripWrap50 sample

پارامترهای خرابی بتن در کشش و فشار وجود دارد، این امکان پدیدار می‌شود تا با افزایش بارگذاری المان‌هایی که دچار خرابی می‌شوند به صورت ترک نمایان شوند. لذا با افزایش بارگذاری تعداد المان‌هایی که حذف می‌شوند بیشتر می‌شود و نمونه با کاهش N2- سختی روبرو می‌شود. شکل (۲۳) ترک خورده‌گی در ستون -M50-StrripWrap5. را در سیکل ۹,۶۰۱ حاصل از مطالعه عددی نشان می‌دهند. همانطور که در این شکل نشان داده شده است ترک خورده‌گی از پای گیردار ستون اتفاق می‌افتد و به سمت انتهای آزاد ستون ادامه می‌یابد. بدین معنا که خرابی ستون در پای ستون است و می‌توان با انجام مقاوم سازی پای ستون با الیاف پلیمری کردن ظرفیت نهایی نمونه را افزایش داد. در اصل در این شکل المان‌هایی که دچار آسیب شده اند نمایش داده شده است که همان مسیر ترک خورده‌گی است. زمانی که متریال بتن در نرم افزار معرفی می‌گردید در کرنش‌های مختلف مقادیر آسیب بتن در کشش مشخص گردید که اعداد نشان داده شده در اشکال آورده

(۲۶,۷۵ کیلونیوتن) و در حالت الیاف به صورت دو لایه متوسط است (۶۶,۵ کیلونیوتن). جدول (۹) بار نهایی و نسبت بار نهایی نمونه‌های مختلف را نسبت به نمونه N2+-M50-StrripWrap50 نشان می‌دهد. مطابق این جدول ظرفیت نهایی نمونه‌های N2-, N2+-M50-FullWrap و N2+-M50-StrripWrap50. N2+-M50-FullWrap-، N2+-M50-StrripWrap50. N2+-M50-، N2+-M50-StrripWrap50. N2+-M50-، N2+-M50-StrripWrap50. (در حالت رفت) نسبت به نمونه N2+-M50 به ترتیب ۴۰٪، ۳۱,۲٪، ۷٪، ۴۰٪، ۳۴,۴٪، ۸۸,۴٪، ۶۹٪ افزایش داشته است.

- بررسی ترک خورده‌گی در نمونه N2-M50-StrripWrap50

با توجه به اینکه در مدل پلاستیته خرابی بتن^۱ امکان تعریف

داشته است. به طوری که در نمونه‌ی با مقاومت فشاری ۲۸ روزه بتن برابر ۳۰ مگاپاسکل نسبت به نمونه M۵۰-۲-N۲ ظرفیت نهایی حدوداً ۵۲٪ کاهش داشته است. جهت بررسی تاثیر ابعاد مقطع فولادی، مقطع فولادی در حالت صلیبی شکل و در حالت اول با افزایش ۲ میلیمتری در ضخامت‌های بال و جان مقطع فولادی (نمونه‌ی ۱-N۲-M۵۰)، در حالت دوم دارای مساحت یکسان با یک مقطع I شکل تنها (نمونه‌ی N۲-M۵۰-۲) و در حالت مقطع H شکل فولادی (نمونه‌ی N۲-H-M۵۰) بررسی شد. نتایج تحلیل نشان می‌دهد ظرفیت نهایی نمونه‌ی ۱-N۲-M۵۰ افزایش نسبتاً متوسطی داشته است نسبت به نمونه M۵۰-۲-N۲-M۵۰ کاهش متوسطی داشته است. نمونه دارای مقطع H شکل ذکر شده افزایش نسبتاً کمی نسبت به مقطع N۲-M۵۰ دارد. به عبارت دیگر تاثیر این دو مقطع در حالت خمش حول محور قوی مقطع H شکل و با مساحت‌های برابر تقریباً یکسان است. ظرفیت نهایی نمونه‌های ۱-N۲-M۵۰ و ۲-N۲-M۵۰ (در حالت رفت) نسبت به نمونه N۲-H-M۵۰ ترتیب ۱۲٪ افزایش، ۱۵,۵٪ کاهش و ۳,۴٪ افزایش داشته است.

ترک خوردگی ستون از پای گیردار ستون اتفاق می‌افتد و به سمت انتهای آزاد ستون ادامه می‌یابد. بدین معنا که خرابی ستون در پای ستون است و می‌توان با انجام مقاوم سازی پای ستون با الیاف پلیمری کربن ظرفیت نهایی نمونه را افزایش داد.

تفاوت بار نهایی برای ستون‌های مقاوم سازی در ناحیه پای گیردار ستون در مقایسه با مقاوم سازی کل ستون کم است ثانیاً استفاده از الیاف پلیمری کربن به صورت دورپیچ کامل تاثیر بسیار بالاتری نسبت به استفاده از الیاف کربن به صورت نواری دارد. به عبارت دیگر موثرترین حالت مقاوم سازی با الیاف پلیمری کربن به صورت دورپیچ کامل و در سرتاسر ستون با حالت دورپیچ کامل با در حالت دورپیچ کامل و در سرتاسر ستون با حالت دورپیچ کامل با عرض ۳۰۰ میلی متر در پای ستون در حالت الیاف به صورت یک لایه کم است (۲۶,۷۵ کیلونیوتن) و در حالت الیاف به صورت دو لایه متوسط است (۶۶,۵ کیلونیوتن).

ظرفیت نهایی نمونه‌های N۲-M۵۰-FullWrap، N۲-M۵۰-StrripWrap^{۳۰۰} و N۲-M۵۰-StrripWrap^{۵۰}

شده نشان دهنده مقدار آسیب با توجه به کرنیش ایجاد شده در عضو بتنی است (این اعداد بین صفر و ۱ است). رنگ‌های آورده شده در کنار شکل‌های ذیل مقدار آسیب بتن در کشش را نشان می‌دهد که بدون بعد است.

۸- خلاصه و نتیجه‌گیری

در این پژوهش پس از تایید مدل سازی در نرم افزار اجزای محدود آباکوس به بررسی رفتار ستون‌های فولادی پوشیده شده با بتن با در نظر گرفتن متغیرهایی چون مقاومت بتن، شکل سطح مقطع ستون فولادی در دو حالت H شکل و صلیبی و در نهایت شکل و تعداد لایه‌های مقاوم سازی با الیاف پلیمری کربن پرداخته شد.

شایان ذکر است که اولاً اکثر مطالعات گذشتگان به صورت آزمایشگاهی می‌باشد و با توجه به اینکه انجام مطالعات آزمایشگاهی زمان بر و هزینه بر است، انجام این مطالعه عددی ضروری است. ثانیاً در مطالعات انجام شده گذشتگان اثر مقاومت بتن و شکل مقطع فولادی به صورت محدود بررسی شده است که نیاز به بررسی بیشتر بود. همچنین تاثیر مقاوم سازی با الیاف پلیمری کربن نیز به صورت جامع بررسی نشده بود که در این تحقیق در راستای نکمل مطالعات گذشتگان به این مساله نیز پرداخته شد که تمام این مسائل از نوآوری‌های مهم تحقیق است. گزارش حاصل بر اساس پژوهش عددی انجام شده با نرم افزار اجزای محدود آباکوس بر روی ستون‌های فولادی پوشیده شده با بتن با مقطع مربعی نوشته شده است. هدف از انجام این پژوهش تحلیل رفتار و خصوصیات ستون‌های پوشیده شده با بتن تحت اثر توازن نیروی محوری و بارگذاری چرخه ای جانی است. برای تحقق اهداف فوق پس از صحبت سنجی ستون فولادی پوشیده شده شده با بتن در نرم افزار اجزای محدود آباکوس با مدل آزمایشگاهی انجام شده، ۱۶ نمونه ستون فولادی پوشیده شده با بتن دارای مقطع مربعی شکل با نرم افزار اجزای محدود آباکوس تحلیل گردید. جهت بررسی تاثیر مقاومت بتن علاوه بر نمونه M۵۰-۲-N۲ که دارای بتن با مقاومت فشاری ۲۸ روزه نمونه استوانه ای برابر ۱۰۵,۴ مگاپاسکال است چهار نمونه دیگر با مقاومت‌های فشاری ۳۰، ۵۰، ۹۰ و ۷۰ مگاپاسکال تحلیل شد. نتایج تحلیل نشان می‌دهد که در بتن‌های با مقاومت پایین که تحت اثر توازن بار محوری و بار جانبی چرخه ای قرار گرفته اند ظرفیت نهایی نمونه کاهش چشم‌گیری

- stub columns, Journal of Constructional Steel Research, 62(5) (2006) 424-433.
- [5] E. Ellobody, B. Young, Numerical simulation of concrete encased steel composite columns, Journal of Constructional Steel Research, 67(2) (2011) 211-222.
- [6] م.ع.ل.ا. یقین، م. ضیائیون، بررسی رفتار ستون‌های مرکب دو لایه تحت اثر متقابل نیروی محوری و لنگر خمشی، مجله مدل سازی در مهندسی، ۳۱(۱۰) (۱۳۹۱) ۲۳-۱۵.
- [7] م.ل.ا. یقین، ی.خ. پورآذر، تأثیر تغییرات لنگر خمشی در میزان باربری محوری ستون‌های مرکب، نهمین کنگره بین المللی مهندسی عمران، ۹۱(۱۳۹۱).
- [8] K.W. Li, Z.Y. Li, Y. Zou, Non-linear Numerical Simulation of Core Steel Reinforced Concrete Columns Based on ABAQUS Software, in: Applied Mechanics and Materials, Trans Tech Publ, 2014, pp. 1197-1200.
- [9] W. Zhu, J. Jia, J. Gao, F. Zhang, Experimental study on steel reinforced high-strength concrete columns under cyclic lateral force and constant axial load, Engineering Structures, 125 (2016) 191-204.
- [10] S. Chen, P. Wu, Analytical model for predicting axial compressive behavior of steel reinforced concrete column, Journal of Constructional Steel Research, 128 (2017) 649-660.
- [11] P. Lacki, A. Derlatka, P. Kasza, Comparison of steel-concrete composite column and steel column, Composite Structures, 202 (2018) 82-88.
- [12] C. ABAQUS, Analysis user's manual, in, Version, 2017.
- [13] ساعدی‌داریان، ح. عربزاده، ح. بهرامپور، راهنمای جامع نرم‌افزار ABAQUS، نشر انگیزه، ۹۰(۱۳۹۰).
- [14] G. Campione, N. Miraglia, M. Papia, Strength and strain enhancements of concrete columns confined with FRP sheets, Structural Engineering and Mechanics, 18(6) (2004) 769-790.
- N₂-+M₅₀-FullWrap-, ۲-N₂-+M₅₀-StrripWrap₅₀-N₂-+M₅₀- ۲L-N₂-+M₅₀-StrripWrap₅₀- ۲L- ۲L-N₂-+M₅₀-StrripWrap₅₀- ۲L-StrripWrap₅₀- (در حالت رفت) نسبت به نمونه N₂-+M₅₀- به ترتیب ۴۰٪، ۳۱، ۲٪، ۲۳۱، ۲٪، ۷٪، ۹، ۹٪، ۶۹٪، ۴٪، ۸۸، ۴٪، ۳۴، ۴٪ و ۷٪ افزایش داشته است.
- ### ۹- فهرست علائم
- | علائم انگلیسی | علائم یونانی |
|---------------------------|--------------|
| m^r مساحت، | A |
| N/mm^r مدول الاستیسیته، | E |
| صفحه‌ی دویاتوریک | kc |
| مقاومت فشاری دو محوره بتن | f_{bo} |
| مقاومت فشاری ۲۸ روزه بتن، | f_c |
| ضخامت بال، | t_f |
| ضخامت جان، | t_w |
| عرض مقطع، | b |
| ارتفاع مقطع، | h |
- | علائم یونانی | علائم بونانی |
|--------------|--------------|
| زاویه اتساع | Ψ |
- ### ۱۰- مراجع
- [1] M.F. Belal, H.M. Mohamed, S.A. Morad, Behavior of reinforced concrete columns strengthened by steel jacket, HBRC Journal, 11(2) (2015) 201-212.
 - [2] ح. نعمتی، مقایسه و بررسی انواع مختلف ستون‌های کمپوزیت در قاب در حالت غیر ارجاعی تحت بار دینامیکی، دانشگاه تبریز، ۹۰(۱۳۹۰).
 - [3] K.W. Li, Z.Y. Li, Y. Zou, Non-linear Numerical Simulation of Core Steel Reinforced Concrete Columns Based on ABAQUS Software, in: Applied Mechanics and Materials, Trans Tech Publ, 2014, pp. 1197-1200.
 - [4] C.-C. Chen, N.-J. Lin, Analytical model for predicting axial capacity and behavior of concrete encased steel composite

چگونه به این مقاله ارجاع دهیم

S.O. Hosseini, S. Hosseinaei, M. Ghasemi, Investigation the behavior of concrete-covered steel columns and retrofitting it with carbon polymer fibers under simultaneous axial loading and reciprocating lateral loading, Amirkabir J. Civil Eng., 52(11) (2021) 2867-2886.

DOI: [10.22060/ceej.2019.16429.6241](https://doi.org/10.22060/ceej.2019.16429.6241)



